

Bei drei Oeffnungen mit den Stützweiten  $l_1$ ,  $l_2$  und  $l_1$  ergeben sich folgende Resultate:

$$M_0 = M_3 = 0, \quad M_1 = M_2 = \frac{p_1 l_1^3 + p_2 l_2^3}{4(3l_2 + 2l_1)} \quad \dots \quad 191.$$

$$D_0 = D_3 = \frac{p_1 l_1}{2} - \frac{p_1 l_1^3 + p_2 l_2^3}{4l_1(3l_2 + 2l_1)}, \quad D_1 = D_2 = \frac{p_1 l_1^3 + p_2 l_2^3}{4l_1(3l_2 + 2l_1)} + \frac{p_1 l_1}{2} + \frac{p_2 l_2}{2} \quad 192.$$

### b) Innere Kräfte der Gitterträger.

373.  
Allgemeines.

Die Balkenträger sind entweder vollwandige Träger oder gegliederte Träger, letztere gewöhnlich Gitterträger genannt. Bei den ersteren bildet der ganze Querschnitt eine zusammenhängende Fläche; bei den letzteren besteht derselbe aus zwei getrennten Theilen, den sog. Gurtungsquerschnitten; beide Gurtungen sind durch ein System von Stäben mit einander verbunden.

Die Ermittlung der Spannungen, welche in den vollwandigen Trägern, wozu die hölzernen und gußeisernen Balken, die Walzbalken und Blechträger gehören, durch die äußeren Kräfte erzeugt werden, ist bereits im 4. Kapitel des 1. Abschnittes vorgeführt worden; dafelbst ist auch die Querschnittsbestimmung für diese Balken gezeigt. Im vorliegenden Kapitel sollen deshalb nur die in den Gitterträgern entstehenden inneren Kräfte entwickelt werden.

Gitterträger sind aus einzelnen Stäben combinirte Träger. Die Kreuzungspunkte der einzelnen Stäbe heißen Knotenpunkte. Jeder Gitterträger hat eine obere Gurtung und eine untere Gurtung. Zur Verbindung beider dient das zwischen ihnen angeordnete Gitterwerk.

374.  
Classification  
der  
Gitterträger.

Nach der Form der Gurtung unterscheidet man:

1) Parallelträger, d. h. Träger, deren beide Gurtungen parallel (gewöhnlich auch horizontal) sind.

2) Träger mit einer krummen und einer geraden Gurtung oder mit zwei krummen Gurtungen. Die ersteren nennt man, wenn die Endhöhe des Trägers gleich Null ist und die obere Gurtung krumm, die untere Gurtung gerade ist, Bogenföhnensträger; wenn die untere Gurtung gekrümmt, die obere Gurtung gerade ist, Fischbauchträger. Je nach der Curve der Krümmung unterscheidet man Parabelträger, Hyperbel- (Schwedler-) Träger, Ellipsensträger etc.

3) Dreieck- und Trapezträger, d. h. Träger, deren Gurtungen ein Dreieck, bezw. ein Paralleltrapez bilden.

Nach der Anordnung des Gitterwerkes werden unterschieden:

1) Träger mit einfachem Gitterwerk oder Träger, bei denen nur zwei Lagen von Gitterstäben vorhanden sind;

2) Träger mit combinirtem Gitterwerk, falls drei Lagen von Gitterstäben vorhanden sind.

Wir werden uns mit den letzteren nur in so fern beschäftigen, als man die Träger mit Gegendagonalen zu denselben rechnen kann.

Eintheiliges Gitterwerk ist solches, bei welchem sich jeder Gitterstab nur in den Gurtungen mit den anderen Gitterstäben kreuzt; mehrtheiliges Gitterwerk ist solches, bei welchem jeder Gitterstab sich aufer in den Gurtungen noch ein oder mehrere Male mit anderen Gitterstäben kreuzt.

Für die Zwecke des Hochbaues ist wohl immer das eintheilige Gitterwerk

welches eine exacte Berechnung zuläßt, ausreichend, so dafs wir hier nur Träger mit eintheiligem Gitterwerk besprechen werden.

Die Gitterstäbe sind entweder geneigt oder vertical; sie werden in der Folge als Diagonalen und Verticalen bezeichnet werden.

Gitterwerk mit zwei Lagen Diagonalen nennen wir Netzwerk, Gitterwerk mit einer Lage Diagonalen und einer Lage Verticalen Fachwerk.

Die Dachbinder sind in den allermeisten Fällen Gitterträger, so dafs die hier zunächst zu entwickelnden allgemeinen Regeln und Gesetze auch für die im nächsten Kapitel zu behandelnden Dachbinder gültig sind.

Bei den nachstehenden Untersuchungen werden folgende Annahmen gemacht:

- 1) die Belastungen finden nur in den Knotenpunkten statt, und
- 2) die Stäbe sind in den Knotenpunkten so mit einander verbunden, dafs sie sich um dieselben frei drehen können.

375.  
Voraus-  
setzungen.

### 1) Methoden für die Bestimmung der Stabspannungen.

Die Ermittlung der inneren Kräfte oder Spannungen erfolgt nach dem allgemeinen Verfahren, welches in Art. 254, S. 232 angegeben worden ist. Der Körper wird an derjenigen Stelle durchschnitten gedacht, an welcher man die inneren Kräfte, hier die Stabspannungen, kennen lernen will; an den Schnittstellen werden die inneren Kräfte angebracht und auf das Fragment die allgemeinen Gleichgewichtsbedingungen angewendet. Da hier die Stäbe, wie angenommen wurde, um die Knotenpunkte frei drehbar sind, so muß jede Stabspannung mit der Richtung des betreffenden Stabes zusammenfallen. Es ergibt sich sonach folgende Regel:

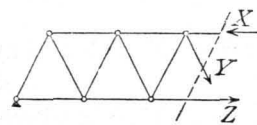
376.  
Verfahren  
im  
Allgemeinen.

Man denke den Träger so durchschnitten, dafs die Stäbe, deren Spannung man sucht, durch den Schnitt getroffen werden, bringe die mit den Stabrichtungen zusammenfallenden Stabspannungen als vorläufig unbekannte Kräfte an (Fig. 172) und stelle für das Fragment die allgemeinen Gleichgewichtsbedingungen auf.

Es ergibt sich leicht, dafs die Aufgabe auf dem angegebenen Wege nur dann lösbar ist, wenn stets nur drei Unbekannte vorhanden sind, d. h., wenn für jeden Stab ein Schnitt möglich ist, bei welchem aufer demselben nur noch zwei andere Stäbe geschnitten werden; anderenfalls erhält man ein statisch unbestimmtes System.

Die Stäbe werden gezogen oder gedrückt; im ersten Falle wirkt die Spannung vom Knotenpunkte ab ( $Y$  und  $Z$  in Fig. 172); im zweiten Falle wirkt sie nach dem Knotenpunkt hin ( $X$  in Fig. 172). Da man beim Beginne der Berechnung vielfach noch nicht den Sinn der Beanspruchung kennt, so werden wir zunächst stets alle Spannungen als Zugspannungen, d. h. vom Knotenpunkte ab gerichtet, einführen; die Rechnung ergibt entweder einen positiven oder negativen Werth. Das erstere Resultat bedeutet, dafs die angenommene Pfeilrichtung die richtige war, d. h. dafs im Stabe Zug herrscht. Das zweite Resultat bedeutet, dafs die wirkliche Spannung der angenommenen gerade entgegengesetzt (mit  $\cos 180^\circ$  zu multipliciren) ist, d. h. im Stabe Druck herrscht.

Fig. 172.



$\alpha$ ) Analytische Bestimmung der Stabspannungen. Dieselbe kann in zweifacher Weise geschehen, entweder durch Aufstellung der Gleichgewichtsbedingungen oder nach der sog. Momentenmethode.

377.  
Analytisches  
Verfahren.

378.  
Gleichgewichts-  
bedingungen.

a) Die Aufstellung der Gleichgewichtsbedingungen für das Fragment (Fig. 173), welches, wie im vorigen Artikel angegeben, behandelt ist, ergibt drei Gleichungen, welche nach Art. 256, S. 233 lauten:

$$\left. \begin{aligned} X \cos \sigma + Y \sin \tau + Z = 0; \quad D_0 - P_1 - P_2 + X \sin \sigma - Y \cos \tau = 0 \\ D_0 \cdot 2a - P_1 a - Zz = 0 \end{aligned} \right\} \quad 193.$$

Als Drehpunkt für die dritte Gleichung ist der Punkt  $C$  gewählt; alsdann haben  $X$ ,  $Y$  und  $P_2$  kein statisches Moment, weil sie für diesen Drehpunkt keinen Hebelsarm haben.

Die angegebene Methode führt stets, wenn nur 3 Unbekannte, also 3 geschnittene Stäbe vorhanden sind, zum Ziele; sie hat den Nachtheil, daß meistens 3 Gleichungen gelöst werden müssen, selbst wenn man nur eine Spannung kennen lernen will.

379.  
Ritter'sche  
Methode.

b) Das Charakteristische der von *Ritter* angegebenen Momenten-Methode ist, daß man für jede Spannung nur eine Gleichung erhält; das Mittel dazu bietet die dritte Gleichgewichtsbedingung des vorhergehenden Artikels. Wird der Momentenpunkt so gewählt, daß zwei von den drei Unbekannten das Moment Null haben, so bleibt in der Gleichung nur eine Unbekannte. Das statische Moment jeder der beiden Kräfte ist aber gleich Null für den Schnittpunkt beider Krafrichtungen, weil für diesen Punkt jede der beiden Kräfte den Hebelsarm Null hat. Die Methode ist demnach folgende:

Man lege durch den Träger einen Schnitt, so daß nur 3 Stäbe mit unbekanntem Spannungen geschnitten werden, bringe diese Spannungen und alle am Fragment wirkenden äußeren Kräfte an, setze die algebraische Summe der statischen Momente dieser Kräfte gleich Null und wähle dabei als Momentenpunkt für die Ermittlung der Spannung eines Stabes stets den Schnittpunkt der beiden mit durchschnittenen Stäbe.

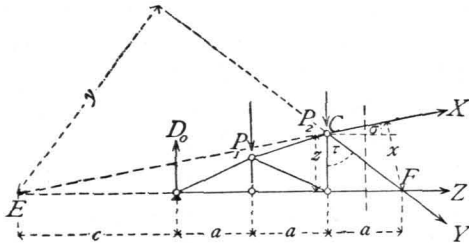


Fig. 173.

Um in Fig. 173 die Spannung  $X$  zu finden, wählt man  $F$  als Momentenpunkt; die Gleichung der statischen Momente heißt dann

$$Xx + D_0 \cdot 3a - P_1 \cdot 2a - P_2 a = 0,$$

woraus sich die einzige Unbekannte  $X$  leicht finden läßt. Für  $C$  als Momentenpunkt ergibt sich

$$D_0 \cdot 2a - P_1 a - Zz = 0,$$

woraus  $Z$  zu berechnen ist, und für  $E$  als Momentenpunkt

$$Yy - D_0 c + P_1 (c + a) + P_2 (c + 2a) = 0,$$

woraus  $Y$  zu ermitteln ist.

Die Länge der Hebelsarme ergibt sich meistens genügend genau aus der Zeichnung, kann aber auch leicht rechnerisch ermittelt werden.

Wir werden den für einen Stab nach dieser Methode sich ergebenden Momentenpunkt den diesem Stabe conjugirten Punkt nennen.

380.  
Graphisches  
Verfahren.

β) Graphische Bestimmung der Stabspannungen. Auch das graphische Verfahren kann nach zwei verschiedenen Methoden durchgeführt werden, entweder nach der Schnittmethode oder nach der Polygonalmethode.

a) Die Schnittmethode wurde von *Culmann* angegeben.

Werden die sämtlichen am Fragment wirkenden äusseren Kräfte zu einer Resultierenden  $Q$  (Fig. 174) zusammengefasst, so wirken auf dasselbe 4 Kräfte, nämlich  $Q$  und die 3 unbekanntnen Spannungen. Für diese 4 Kräfte ergibt sich ein geschlossenes Kraftpolygon. Von einer dieser Kräfte, nämlich von  $Q$ , ist Grösse, Richtung und Lage bekannt; von den drei anderen wohl Richtung und Lage, nicht aber die Grösse. Ersetzt man 2 der unbekanntnen Kräfte, etwa  $X$  und  $Y$ , durch ihre Mittelkraft  $R$ , so bleiben nur noch die 3 Kräfte  $Q$ ,  $Z$  und  $R$ , welche sich nach Art. 258, S. 234 in einem Punkte schneiden müssen.  $R$  muss also durch den Schnittpunkt  $O$  von  $Q$  und  $Z$  gehen. Da  $R$  ausserdem durch den Schnittpunkt  $E$  von  $X$  und  $Y$  geht, so sind 2 Punkte der Richtungslinie von  $R$ , es ist also auch diese Richtung selbst bekannt.  $R$  hat die Richtung  $OE$ . Im Punkte  $O$  halten sich demnach 3 Kräfte  $Q$ ,  $R$  und  $Z$  im Gleichgewichte; das für dieselben construirte Kraftpolygon ist eine geschlossene Figur, hier ein Dreieck. Ist  $Q = \alpha\beta$ , so ziehe man durch  $\beta$  eine Parallele zur Richtung von  $Z$ , durch  $\alpha$  eine solche zur Richtung von  $R$ ; der Schnittpunkt  $\gamma$  beider Linien ergibt die beiden Kräfte  $R = \gamma\alpha$  und  $Z = \beta\gamma$ .

In derselben Weise kann nun  $R$  in seine beiden Seitenkräfte  $X$  und  $Y$  zerlegt werden, indem man durch die beiden Endpunkte von  $R$  Parallelen zu den Richtungen von bezw.  $X$  und  $Y$  zieht. Es ergibt sich  $\gamma\delta = Y$  und  $\delta\alpha = X$ .

Es ist für das Endresultat gleichgiltig, welche zwei von den unbekanntnen Spannungen man zu einer Mittelkraft vereinigt. Man kann auch  $Y$  und  $Z$  (Fig. 175) durch ihre Mittelkraft  $R'$  ersetzen, welche dann durch  $F$  und den Schnittpunkt  $O'$  der Kraft  $X$  mit  $Q$  geht. Als Kraftpolygon erhält man  $\alpha\beta\epsilon\zeta$ . Eben so kann man auch  $X$  und  $Z$  zu einer Resultierenden vereinigen, und erhält die ebenfalls in Fig. 175 gezeichnete Construction.

Die angegebene Construction giebt zugleich Aufschluss darüber, ob die Stäbe gezogen oder gedrückt werden. Da die am Fragment wirkenden Kräfte im Gleichgewicht sind, so haben sie nach Art. 264, S. 237 denselben Umfahrungsinn, und es ist demnach der Sinn aller im Kraftpolygon vorkommenden Kräfte bekannt, wenn der Sinn einer derselben bekannt ist. Hier ist stets der Sinn von  $Q$  bekannt; denn dieses ist die Transversalkraft für den bezüglichen Querschnitt.  $Q$  hat den Sinn von  $\alpha$  nach  $\beta$ ; also ist in Fig. 174  $Z$  von  $\beta$  nach  $\gamma$ , d. h. vom Knotenpunkt  $L$  ab gerichtet,  $Y$  von  $\gamma$  nach  $\delta$ , und  $X$  von  $\delta$  nach  $\alpha$  gerichtet.

$X$  wirkt also nach dem Knotenpunkt  $E$  hin, ist demnach Druck, während  $Z$  und  $Y$  Zug bedeuten. Richtung, Grösse und Lage der Transversalkraft  $Q$  für eine gegebene Belastung sind mit Hilfe des Kraft- und Seilpolygons leicht bestimmbar. (Siehe Art. 360, S. 322.)

b) Die Polygonalmethode ist von *Cremona* angegeben worden.

Wir führen die folgenden Bezeichnungen ein. Randstäbe seien Stäbe, welche zwei auf einander folgende äussere Knotenpunkte mit einander verbinden, also  $I II$ ,  $II III$  ... in Fig. 176; Zwischenstäbe seien Stäbe, welche zwei nicht

Fig. 174.

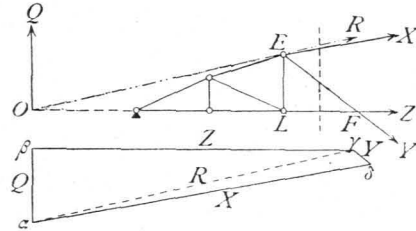
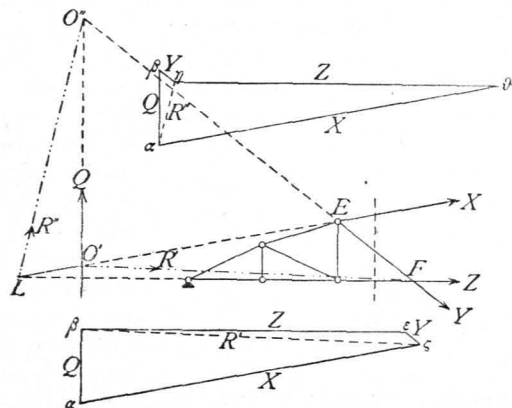


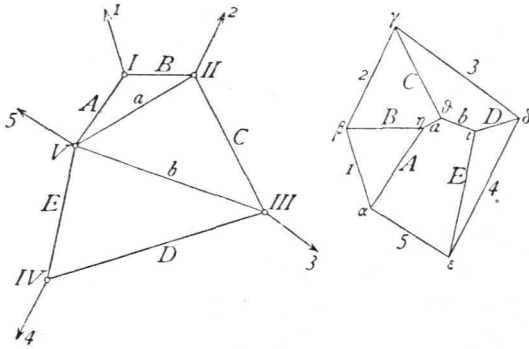
Fig. 175.



auf einander folgende äußere Knotenpunkte verbinden, also  $II V$ ,  $III V \dots$  in Fig. 176.

Da alle auf das System wirkenden äußeren Kräfte im Gleichgewichte sind, so ist für dieselben ein geschlossenes Kraftpolygon möglich, welches, wenn alle äußeren

Fig. 176.

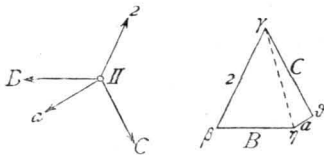


Kräfte nach Größe und Richtung gegeben sind, leicht construirt werden kann. Außerdem sind an jedem Knotenpunkte die an demselben wirkenden Kräfte für sich im Gleichgewicht; es ist also für jeden dieser Knotenpunkte ein kleines secundäres, sich schließendes Kraftpolygon möglich. An jedem Knotenpunkte wirken: eine äußere Kraft, die im speciellen Falle Null sein kann, und die Spannungen der Stäbe, welche sich in ihm schneiden, also im Knotenpunkte  $II$  die Kräfte  $2, B, C, a$ .

In den meisten der kleinen Kraftpolygone kommt nun je eine äußere Kraft vor, welche bereits im großen Hauptpolygon der äußeren Kräfte enthalten ist; es wird also offenbar möglich sein, jedes kleine Kraftpolygon so an das große zu legen, daß die beiden gemeinsame äußere Kraft durch dieselbe Gerade dargestellt wird. Da ferner jeder Stab zu zwei Knotenpunkten gehört, so kommt jede Stabspannung in zwei secundären Kraftpolygone vor. Es wird nun durch rationelle Anordnung möglich, die kleinen Kraftpolygone so in das große einzufachtern, daß nicht nur jede äußere Kraft, sondern auch jede Stabspannung nur einmal im Kräftezuge vorkommt, d. h. auch die kleinen Kraftpolygone hängen dann so zusammen, daß die beiden gemeinsame Stabspannung durch dieselbe Gerade dargestellt wird.

Für die Construction der kleinen Kraftpolygone ist nun Folgendes zu beachten. Wenn, wie hier, die Richtung sämtlicher Kräfte bekannt ist und das Kraftpolygon wegen des Gleichgewichtes der Kräfte sich schließt, so ist die Construction desselben stets möglich, wenn am Knotenpunkte nur 2 unbekannte Kräfte vorhanden sind. Denn seien etwa in Fig. 177  $B$  und  $2$  bekannt,  $a$  und  $C$  unbekannt, so erfordert

Fig. 177.



das Gleichgewicht, daß die Resultirende von  $a$  und  $C$  der bekannten Resultirenden von  $2$  und  $B$  der Größe nach genau gleich ist. Die bekannte Resultirende von  $2$  und  $B$  ist aber die Verbindungslinie  $\eta\gamma$  im Kraftpolygon, und es ist dieselbe im entgegengesetzten Sinne genommen ohne Schwierigkeit in die beiden Seitenkräfte  $C$  und  $a$  zu zerlegen, indem durch den einen Endpunkt, etwa  $\gamma$ , eine Parallele zu  $C$ , durch den anderen Endpunkt, etwa  $\eta$ , eine Parallele zu  $a$  gezogen wird. Der Schnittpunkt  $\delta$  ergibt  $\gamma\delta = C$  und  $\delta\eta = a$ . Alsdann ist  $\beta\gamma\delta\eta$  das kleine Kraftpolygon für Punkt  $II$ .

Man muß es demnach bei der Construction der kleinen Kraftpolygone so einrichten, daß stets nur 2 Unbekannte da sind. Zu dem Zwecke beginnt man mit demjenigen Knotenpunkte, in welchem sich nur 2 Stäbe schneiden, hier also etwa mit  $I$  (Fig. 176). Die äußere Kraft ist bekannt; unbekannt sind demnach nur  $A$  und  $B$  und nach Obigem leicht zu ermitteln. Man geht nun zu einem Knotenpunkt über, von welchem man wiederum alle Kräfte mit Ausnahme von zweien kennt, hier zu  $II$ . Bekannt sind hier  $2$  und  $B$ , unbekannt  $C$  und  $a$ , demnach leicht ermittelt. So schreitet man weiter. Ein Knotenpunkt, in welchem sich nur 2 Stäbe schneiden, ist bei den Gitterträgern stets vorhanden.

Damit nun jede äußere Kraft und jede Stabspannung nur einmal in dem entstehenden Kräftezuge — dem Kräfteplan — vorkomme, ist folgende Regel zu befolgen. Man vereine sämtliche äußeren Kräfte zu einem geschlossenen Kraftpolygon, indem man sie in der Folge der Knotenpunkte oder, wie man sagt,

in cyclischer Reihenfolge an einander legt, und ziehe nun durch die Eckpunkte dieses Kraftpolygons Parallelen zu den Randstäben derart, daß die Parallele zu einem Randstabe, etwa zu  $A$ , durch denjenigen Eckpunkt des großen Kraftpolygons geht, welcher zwischen den beiden äußeren Kräften liegt, zwischen denen der betreffende Randstab im System sich befindet. Der Randstab  $A$  liegt im System zwischen den äußeren Kräften  $1$  und  $5$ ; die Parallele zu  $A$  wird also durch den Punkt  $\alpha$  zwischen  $1$  und  $5$  gezogen; eben so die Parallele zum Randstab  $B$  durch  $\beta$  zwischen  $1$  und  $2$  etc. Unter Benutzung der hier gezogenen Parallelen construirt man nun, wie oben angegeben, die kleinen Kraftpolygone, so erhält man einen Linienzug zwischen den Randstäben, in welchem jede einzelne Linie eine Zwischenstabsabspannung darstellt und in welchem jede Zwischenstabsabspannung nur einmal vorkommt. Die auf den Parallelen zu den Randstäben abgechnittenen Längen geben die Spannungen der Randstäbe an.

Der Sinn der Stabspannungen wird hier genau in derselben Weise aus dem Kraftpolygon für einen Knotenpunkt ermittelt, wie im vorhergehenden Artikel angegeben ist.

2) Parallelträger mit Netzwerk.

$\alpha$ ) Berechnung der Spannungen in den Gurtungen. Um diese Spannungen für eine beliebige Belastung zu ermitteln, nennen wir die Mittelkraft aller auf das Fragment links vom Schnitte  $II$  (Fig. 178) wirkenden Kräfte  $Q$ ; da nun für irgend einen Stab  $CE$  der oberen Gurtung  $F$  der Momenten- oder conjugirte Punkt ist, so ist das Moment der äußeren Kräfte in Bezug auf diesen Punkt  $M = Q \eta$ . Daraus folgt als Bedingungsgleichung:

383.  
Berechnung  
der Gurtungs-  
spannungen.

$$0 = M + Xh, \text{ woraus } X = -\frac{M}{h} \dots \dots \dots 194.$$

In gleicher Weise ergibt sich für  $C$  als Momentenpunkt, wenn  $M_1$  das Moment von  $Q$  in Bezug auf  $C$  ist,

$$0 = M_1 - Zh, \text{ woraus } Z = \frac{M_1}{h} \dots \dots \dots 195.$$

Da bei einem Träger auf zwei Stützen  $M$  stets die angegebene Drehrichtung hat (stets positiv ist, vergl. Art. 358, S. 317), so folgt aus den Gleichungen 194. und 195: Bei Trägern auf zwei Stützen werden die oberen Gurtungsstäbe stets gedrückt, die unteren Gurtungsstäbe stets gezogen. Ferner:  $X_{max}$  und  $Z_{max}$  wird bei derselben Belastung wie  $M_{max}$  stattfinden, d. h. in jedem Gurtungsstabe findet Maximalbeanspruchung bei derjenigen Belastung statt, bei welcher das Moment für den dem Stabe conjugirten Punkt sein Maximum erreicht. Wird gleichmäßig vertheilte Belastung zu Grunde gelegt, so findet für jeden Querschnitt das Maximalmoment bei voller Belastung statt; sämtliche Gurtungsstäbe werden demnach bei totaler Belastung am meisten beansprucht.

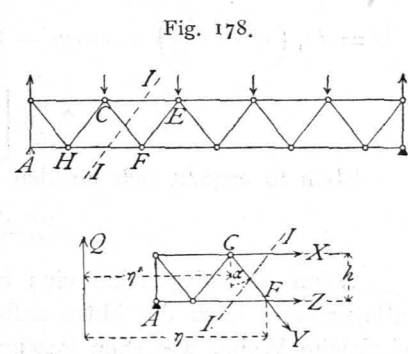
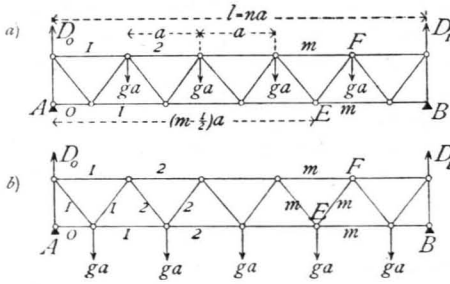


Fig. 178.

$\alpha$ ) Das Eigengewicht der Construction kann als eine gleichmäßig über die Länge des Trägers vertheilte Belastung angesehen werden. Wir bezeichnen es mit  $g$  pro Längeneinheit und machen die vereinfachende Annahme, daß alle Belastungen durch Eigengewicht nur in der einen Gurtung angreifen, welche Annahme für die Hochbau-Praxis stets ausreichen wird. Die Entfernung der Knotenpunkte sei  $a$  (Fig. 179), die Felderzahl des Trägers  $n$ , mithin  $l = na$ . Jeder Mittenknotenpunkt

Fig. 179.



ist mit  $ga$  belastet; die Belastungen der Knotenpunkte über den Auflagern berücksichtigen wir nicht, weil diese direct vom Auflager aufgenommen werden.

Greifen die Lasten an der oberen Gurtung an (Fig. 179 a), so ist bei der angenommenen Diagonalenanordnung die Auflager-Reaction  $D_0 = D_1 = (n - 1) \frac{ga}{2}$ . Für den  $m$ -ten Stab der oberen Gurtung ist  $E$  der conjugirte Punkt, und

$$M = D_0 \left( m - \frac{1}{2} \right) a - (m - 1) ga \left( \frac{m - 2}{2} a + \frac{a}{2} \right),$$

$$M = \frac{g a^2}{2} \left[ (n + 1) \left( m - \frac{1}{2} \right) - m^2 \right];$$

$$X_m^g = - \frac{g a^2}{2h} \left[ (n + 1) \left( m - \frac{1}{2} \right) - m^2 \right] \dots \dots \dots 196.$$

Für den  $m$ -ten Stab der unteren Gurtung ist  $F$  der conjugirte Punkt, und

$$M_1 = D_0 m a - (m - 1) ga \frac{m a}{2} = \frac{g a^2}{2} m (n - m);$$

$$Z_m^g = \frac{g a^2}{2h} m (n - m) \dots \dots \dots 197.$$

Greifen die Lasten an der unteren Gurtung an, so ist bei der in Fig. 179 b gezeichneten Diagonalenanordnung die Auflager-Reaction  $D_0 = D_1 = \frac{n g a}{2}$ . Für den  $m$ -ten Stab der oberen Gurtung ist wiederum  $E$  der conjugirte Punkt, und

$$M = D_0 \left( m - \frac{1}{2} \right) a - (m - 1) ga \frac{m a}{2} = \frac{g a^2}{2} \left[ m (n - m + 1) - \frac{n}{2} \right];$$

$$X_m^g = - \frac{g a^2}{2h} \left[ m (n - m + 1) - \frac{n}{2} \right] \dots \dots \dots 198.$$

Eben so ergibt sich für den  $m$ -ten Stab der unteren Gurtung

$$Z_m^g = \frac{g a^2}{2h} m (n - m) \dots \dots \dots 199.$$

Wenn die Diagonalen eine andere Richtung haben, so daß die erste vom Auflagerpunkt nach der Mitte ansteigt, so ergeben sich etwas andere Formeln, die auf gleiche Weise, wie eben gezeigt, zu ermitteln sind.

b) Die größten Gurtungsspannungen in Folge mobiler gleichmäßig vertheilter Belastung finden statt, wenn der ganze Träger belastet ist. Nennen wir die gleichmäßig vertheilte mobile Belastung pro Längeneinheit  $p$ , so ergeben sich offenbar für diese Belastung, die pro Knotenpunkt gleich  $pa$  ist, genau dieselben Formeln, wie für das Eigengewicht, wobei nur  $g$  durch  $p$  zu ersetzen ist. Wir erhalten also für an der oberen Gurtung angreifende Lasten (Fig. 179 a)

$$X_m^p = - \frac{p a^2}{2h} \left[ (n + 1) \left( m - \frac{1}{2} \right) - m^2 \right] \text{ und } Z_m^p = \frac{p a^2}{2h} m (n - m), \dots 200.$$

für an der unteren Gurtung angreifende Lasten (Fig. 179 b)

$$X_m^p = - \frac{p a^2}{2h} \left[ m(n-m+1) - \frac{n}{2} \right] \quad \text{und} \quad Z_m^p = \frac{p a^2}{2h} m(n-m) \quad \dots \quad 201.$$

c) Findet eine Belastung des Trägers durch Einzellasten  $P_1, P_2, P_3$  (Fig. 180) statt, so ist die Auflager-Reaktion  $D_0 = \frac{P_1 \xi_1}{l} + \frac{P_2 \xi_2}{l} = \Sigma \left( \frac{P \xi}{l} \right)$ . Für den  $m$ -ten Stab der oberen, bezw. der unteren Gurtung betragen die Spannungen

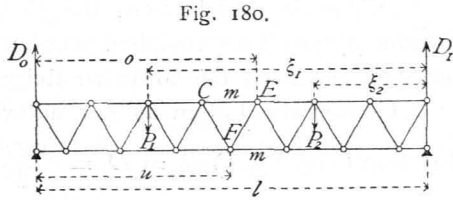


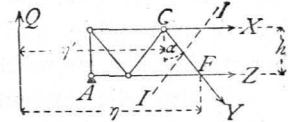
Fig. 180.

$$X_m = - \frac{D_0 u - P_1 \frac{3}{2} a}{h} \quad \text{und} \quad Z_m = \frac{D_0 o - P_1 \cdot 2 a}{h} \quad \dots \quad 202.$$

$\beta$ ) Berechnung der Spannungen in den Gitterstäben. Es sei für eine beliebige Belastung die Mittelkraft aller auf das Fragment links vom Schnitt  $II$  (Fig. 181) wirkenden Kräfte  $Q$ ; alsdann ist für eine nach rechts fallende Diagonale

Fig. 181.

$$0 = Q - Y \cos \alpha, \quad \text{woraus} \quad Y = \frac{Q}{\cos \alpha} \quad 203.$$

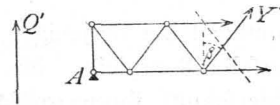


und für eine nach rechts steigende Diagonale (Fig. 182)

$$0 = Q' + Y' \cos \beta, \quad \text{woraus} \quad Y' = - \frac{Q'}{\cos \beta} \quad \dots \quad 204.$$

a) Das Eigengewicht erzeugt, wenn die Lasten an der oberen Gurtung angreifen, die Auflager-Reaktion (Fig. 179 a)  $D_0 = D_1 = (n-1) \frac{g a}{2}$ . Für den  $m$ -ten nach rechts fallenden Stab ist

Fig. 182.



$$Q_m = (n-1) \frac{g a}{2} - (m-1) g a = \frac{g a}{2} (n - 2m + 1),$$

sonach

$$Y_m^g = \frac{g a}{2 \cos \alpha} (n - 2m + 1); \quad \dots \quad 205$$

für den  $m$ -ten nach rechts steigenden Stab ist

$$Q'_m = \frac{g a}{2} (n - 2m + 1), \quad \text{daher} \quad Y'_m{}^g = - \frac{g a}{2 \cos \beta} (n - 2m + 1). \quad 206.$$

$Y_m^g$  ist positiv, wenn der Klammerfactor  $n - 2m + 1 > 0$  ist, d. h. wenn  $m < \frac{n+1}{2}$ ; negativ, wenn  $m > \frac{n+1}{2}$  ist. Bei geradem  $n$  ist für alle Felder links von der Mitte  $m < \frac{n+1}{2}$ ,

für alle Felder rechts von der Mitte  $m > \frac{n+1}{2}$ . Mithin werden alle nach rechts fallenden Diagonalen links von der Mitte gezogen, rechts von der Mitte gedrückt.  $Y'_m{}^g$  ist negativ, d. h. die  $m$ -te rechts steigende Diagonale wird gedrückt, wenn der Klammerfactor positiv ist;  $Y'_m{}^g$  ist positiv, d. h. die  $m$ -te rechts steigende Diagonale wird gezogen, wenn der Klammerfactor negativ ist. Mithin werden die nach rechts steigenden Diagonalen links von der Mitte gedrückt, rechts von der Mitte gezogen.

Bei ungerader Felderzahl ist für alle Felder links vom Mittelfelde  $m < \frac{n+1}{2}$ , d. h.  $Y^g$  Zug und  $Y'^g$  Druck. Für alle Felder rechts vom Mittelfelde ist  $m > \frac{n+1}{2}$ , mithin  $Y^g$  Druck und  $Y'^g$

384.  
Berechnung  
d. Gitterstabs-  
spannungen.

Zug. Für das Mittelfeld ist  $m = \frac{n+1}{2}$ , d. h. der Klammerfactor gleich Null; demnach ist in den zum Mittelfelde gehörigen Diagonalen die durch das Eigengewicht erzeugte Spannung gleich Null.

Allgemein ergibt sich: Bei gleichmäÙig über den Träger vertheilter Belastung  $g$  (oder  $p$ ) pro Längeneinheit werden die nach der Mitte zu fallenden Diagonalen gezogen, die nach der Mitte zu steigenden Diagonalen gedrückt.

Greifen die Lasten an der unteren Gurtung an, so ergibt sich die Auflager-  
Reaction (Fig. 179 b)  $D_0 = D_1 = \frac{ng a}{2}$ , und für die  $m$ -te rechts fallende Diagonale

$$Y = \frac{g a}{2 \cos \alpha} (n - 2m + 2), \dots \dots \dots 207.$$

für die  $m$ -te rechts steigende Diagonale

$$Y' = - \frac{g a}{2 \cos \beta} (n - 2m) \dots \dots \dots 208.$$

Das Gesetz, daß bei dieser Belastungsart die nach der Mitte zu fallenden Diagonalen gezogen, die nach der Mitte zu steigenden Diagonalen gedrückt werden, ist auch hier gültig und ergibt sich in derselben Weise, wie soeben für an der oberen Gurtung angreifende Lasten gezeigt wurde.

b) Um die ungünstigsten Gitterstabspannungen, welche in Folge mobiler Belastung entstehen, zu ermitteln, erwäge man, daß bei beliebiger Belastung für rechts fallende Diagonalen nach Gleichung 203.  $Y = \frac{Q}{\cos \alpha}$  und für rechts steigende

Diagonalen nach Gleichung 204.  $Y' = - \frac{Q'}{\cos \beta}$  ist. Das Maximum von  $Y$  findet

demnach bei derjenigen Belastung statt, bei welcher sich das Maximum der Transversalkraft ergibt. Nach Art. 362, S. 325 hat aber die Transversalkraft für einen Querschnitt ihren größten positiven Werth, wenn der Trägertheil rechts von dem betrachteten Querschnitte belastet, der Trägertheil links davon unbelastet ist, ihren größten negativen Werth bei der umgekehrten Belastung. Daraus folgt: Jede nach rechts fallende Diagonale erleidet den größten Zug durch mobile Belastung, wenn die rechts vom Schnitte gelegenen Knotenpunkte belastet, die links vom Schnitte gelegenen Knotenpunkte unbelastet sind; dagegen der größte Druck, wenn die links vom Schnitte gelegenen Knotenpunkte belastet, die übrigen unbelastet sind.

Da  $Y' = - \frac{Q'}{\cos \beta}$ , so findet in den nach rechts steigenden Diagonalen der größte Druck statt, wenn nur die Knotenpunkte rechts vom Schnitte, der größte Zug, wenn nur die Knotenpunkte links vom Schnitte belastet sind.

Allgemeiner kann die Regel wie folgt ausgesprochen werden: Jede Diagonale erleidet den größten Zug, wenn nur die Knotenpunkte zwischen ihrem Fußpunkte und demjenigen Auflager, nach welchem dieser Fußpunkt zeigt, belastet sind; jede Diagonale erleidet den größten Druck, wenn nur die Knotenpunkte zwischen ihrem Kopfpunkte und demjenigen Auflager belastet sind, nach welchem dieser Kopfpunkt hinweist. Dieser Satz gilt allgemein, ob die Lastpunkte an der oberen oder unteren Gurtung liegen.

Die positiven, bzw. negativen Maximalwerthe für  $Y$  und  $Y'$  ergeben sich nun in folgender Weise. Greifen die Lasten an der oberen Gurtung an (Fig. 183), so ist  $Q$  genau eben so groß, als wenn bei dem homogen angenommenen Träger

die Einzellasten  $pa$  je auf die Längen  $a$  gleichmäÙig vertheilt wären, d. h. als wenn die Last  $p$  pro Längeneinheit von der Mitte des äuÙersten Feldes am rechten, bezw. linken Auflager bis zur Mitte desjenigen Feldes der oberen Gurtung vorgerückt ist, dem die Diagonale angehört. Denn im ersten Falle ist, wenn  $r$  belastete Knotenpunkte vorhanden sind,

$$D_0 = \frac{rap}{l} \left( \frac{ra}{2} + \frac{a}{2} \right) = \frac{rpa^2}{2l} (r + 1),$$

und da  $x = ra + \frac{a}{2} = a \left( r + \frac{1}{2} \right)$ , also  $x + \frac{a}{2} = a(r + 1)$  ist, so wird

$$D_0 = \left( x + \frac{a}{2} \right) \frac{rpa}{2l} = \frac{p}{2l} \left( x + \frac{a}{2} \right) \left( x - \frac{a}{2} \right) = \frac{p}{2l} \left[ x^2 - \left( \frac{a}{2} \right)^2 \right].$$

Derfelbe Werth ergibt sich für den homogenen Träger in Fig. 183, nämlich  $D_0 = \frac{p}{2l} \left( x - \frac{a}{2} \right) \left( x + \frac{a}{2} \right)$ . Es gilt dies allgemein, falls die den Auflagern zunächst liegenden Knotenpunkte der mobil belasteten Gurtung um eine ganze Feldweite von den Auflagern abliegen.

Nun ist für diejenigen Diagonalen, für welche die gezeichnete Belastung Maximalzug bzw. Maximaldruck erzeugt,  $Q_{max} = D_0$ , daher

$$Y_{max} = \frac{p}{2l \cos \alpha} \left[ x^2 - \left( \frac{a}{2} \right)^2 \right]. \quad 209.$$

In gleicher Weise ergibt sich nach Fig. 184

$$D_0 = \frac{p \left( l - x - \frac{a}{2} \right)}{l} \left( x + \frac{l - x - \frac{a}{2}}{2} \right) = \frac{p}{2l} \left[ \left( l - \frac{a}{2} \right)^2 - x^2 \right];$$

$$Q_{x \min} = \frac{p}{2l} \left[ \left( l - \frac{a}{2} \right)^2 - x^2 \right] - p \left( l - \frac{a}{2} - x \right) = - \frac{p}{2l} \left[ (l - x)^2 - \left( \frac{a}{2} \right)^2 \right],$$

$$\text{und } Y_{\min} = - \frac{p}{2l \cos \alpha} \left[ (l - x)^2 - \left( \frac{a}{2} \right)^2 \right]. \quad \dots \quad 210.$$

Dem entsprechend wird

$$Y'_{\min} = - \frac{Q_{max}}{\cos \beta} = - \frac{p}{2l \cos \beta} \left[ x^2 - \left( \frac{a}{2} \right)^2 \right] \quad \dots \quad 211.$$

$$Y'_{\max} = - \frac{Q_{\min}}{\cos \beta} = \frac{p}{2l \cos \beta} \left[ (l - x)^2 - \left( \frac{a}{2} \right)^2 \right] \quad \dots \quad 212.$$

Greifen die Lasten an der unteren Gurtung an (Fig. 185), so ist (wenn mit ganz geringem Fehler die Belastung der beiden den Auflagern zunächst liegenden Knotenpunkte gleichfalls mit  $pa$  eingeführt wird)  $Q_{max}$ , bezw.  $Q_{\min}$  eben so groß, wie bei einem homogenen Träger, bei welchem die Last  $p$  pro Längeneinheit vom rechten, bezw. linken Auflager aus bis zur Mitte desjenigen Feldes der unteren

Fig. 183.

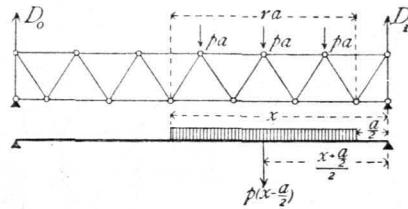


Fig. 184.

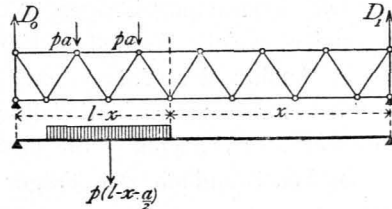
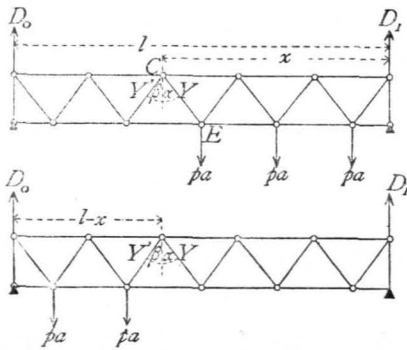


Fig. 185.



Es ergibt sich nun

$$Y_{max} = \frac{p x^2}{2l \cos \alpha} \quad \text{und} \quad Y_{min} = -\frac{p(l-x)^2}{2l \cos \alpha}, \quad \dots \quad 213.$$

$$Y'_{min} = -\frac{p x^2}{2l \cos \beta} \quad \text{und} \quad Y'_{max} = \frac{p(l-x)^2}{2l \cos \beta} \quad \dots \quad 214.$$

Die zusammengehörigen Werthe von  $Y$  und  $Y'$  beziehen sich auf zwei Diagonalen, welche demselben Felde der unteren Gurtung angehören.

c) Erfährt der Träger eine totale Belaftung  $p$  pro Längeneinheit, so sind die sub a für Eigengewichtbelaftung gefundenen Werthe auch für diesen Fall gültig, wenn statt des dortigen  $g$  die Gröfse  $p$  eingeführt wird.

b) Wird endlich der Träger durch Einzellasten beansprucht (Fig. 186), so erzeugt die Last  $P$  im Abstände  $\xi$  von  $B$  die Reaction  $D_0 = \frac{P\xi}{l}$ . In sämmtlichen

rechts fallenden Diagonalen links vom Lastpunkt wird dann  $Y = \frac{D_0}{\cos \alpha} = \frac{P\xi}{l \cos \alpha}$ ;

in sämmtlichen rechts steigenden Diagonalen links vom Lastpunkte ist  $Y' = -\frac{P\xi}{l \cos \beta}$ .

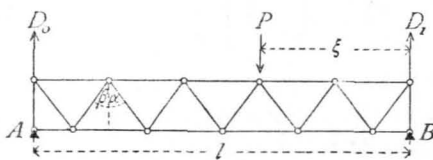
Eben so ist für alle Querschnitte rechts vom Lastpunkte  $Q = D_0 - P = -\frac{P(l-\xi)}{l}$ ,

mithin für die nach rechts fallenden Diagonalen dieser Strecke  $Y_1 = -\frac{P(l-\xi)}{l \cos \alpha}$ ,

für die nach rechts steigenden Diagonalen dieser  $Y'_1 = \frac{P(l-\xi)}{l \cos \beta}$ . Daraus folgt die Regel:

Die nach dem Lastpunkte zu fallenden Diagonalen werden gezogen, die nach demselben steigenden Diagonalen werden gedrückt.

Fig. 186.



385.  
Graphische  
Ermittlung  
der  
Spannungen.

β) Graphische Ermittlung der Spannungen. Setzen wir zunächst eine gleichmäfsig vertheilte Belaftung (Eigengewicht, bzw. totale mobile Belaftung) voraus, so macht es für die Construction keinen wesentlichen Unterschied, ob die Lasten an der oberen oder an der unteren Gurtung angreifen. Wenn in jedem Knotenpunkte, z. B. der oberen Gurtung (Fig. 187) die Belaftung  $ga$ , bzw.  $pa$  wirkt, so



durch  $n$  parallel zur Diagonale  $CE$  gezogene Linie  $no$  giebt den Werth von  $Y = \frac{Q_{max}}{\cos \alpha}$ ; denn es ist  $\frac{no}{\cos \alpha} = \frac{m n}{\cos \alpha} = \frac{Q_{max}}{\cos \alpha}$ .

Nach Gleichung 211. ist  $Y'_{min} = -\frac{Q_{max}}{\cos \beta}$ , also  $n r$  der größte Druck in der rechts steigenden Diagonale  $EF$ .

Es ist ferner nach Gleichung 210. und 212.

$$Y_{min} = -\frac{p}{2l} \left[ (l-x)^2 - \left(\frac{a}{2}\right)^2 \right] \frac{1}{\cos \alpha} = \frac{Q_{min}}{\cos \alpha}$$

und

$$Y'_{max} = -\frac{Q_{min}}{\cos \beta} = \frac{p}{2l} \left[ (l-x)^2 - \left(\frac{a}{2}\right)^2 \right] \frac{1}{\cos \beta}.$$

Wird die Differenz  $l-x = \xi$  gesetzt, so ergibt sich, daß die Curve für  $Q_{min} = -\frac{p}{2l} \left[ \xi^2 - \left(\frac{a}{2}\right)^2 \right]$  derjenigen für  $Q_{max}$  congruent ist.

Für  $\xi = 0$  ist  $Q_{min} = +\frac{p a^2}{8l}$ ; für  $\xi = l$  ist  $Q_{min} = -\frac{p}{2l} \left[ l^2 - \left(\frac{a}{2}\right)^2 \right] = -\frac{p l}{2} + \frac{p a^2}{8l}$ .

Man erhält die in Fig. 188 a gezeichnete Curve, in welcher für die rechts fallende Diagonale  $CE$  das Minimum  $nt$ , für die rechts steigende Diagonale das Maximum  $nu$  eingezeichnet ist.

Greifen die Lasten an der unteren Gurtung an oder allgemein, sind die an der mobil belasteten Gurtung gelegenen Knotenpunkte zunächst den Auflagern von diesen

Fig. 189.

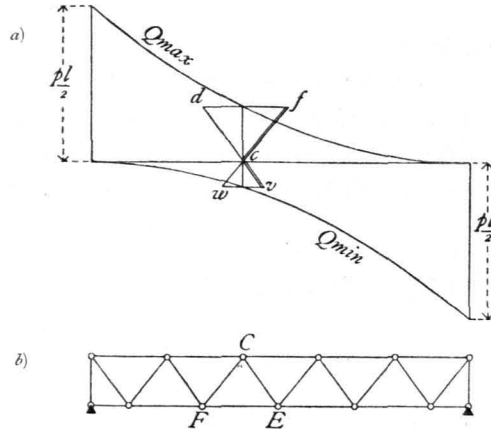
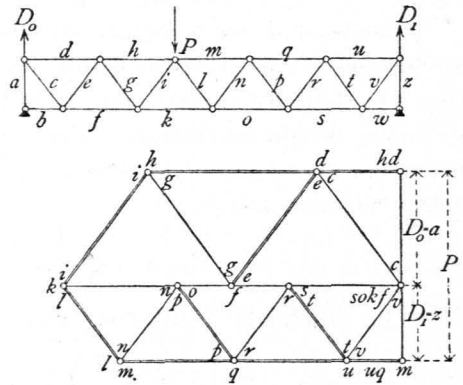


Fig. 190.



um je eine halbe Feldweite entfernt, so ergibt die Verzeichnung der Curven für  $Q_{max}$  und  $Q_{min}$  entsprechend den Gleichungen in Art. 384, S. 348 oben stehende Parabeln (Fig. 189 a).

Man erhält genau wie oben: Der Maximalzug in  $CE$  ist  $cd$ ; der Maximaldruck in  $CF$  ist  $cf$ ; der Maximaldruck in  $CE$  ist  $cv$ ; der Maximalzug in  $CF$  ist  $cw$ .

Für eine Einzellaft wird die Ermittlung der Spannungen bequem mittels des *Cremona'schen* Kräfteplans vorgenommen, wie in Fig. 190 geschehen ist; dieselbe ist ohne Weiteres verständlich.

γ) Art der Beanspruchung der Stäbe bei einem Träger auf zwei Stützen. Nach Art. 383, S. 343 werden die oberen Gurtungsstäbe stets gedrückt, die unteren stets gezogen. Die Diagonalen erhalten verschiedene Beanspruchungen.

Durch das Eigengewicht erhalten die nach der Mitte zu fallenden Diagonalen Zug, die nach der Mitte zu steigenden Diagonalen Druck; durch die ungünstigste mobile Belastung erhalten im Allgemeinen alle Diagonalen sowohl Zug, wie Druck. Wenn der grösste Druck, der in einer Diagonalen durch mobile Belastung entsteht, kleiner ist, als der Zug durch das Eigengewicht, so erleidet die Diagonale nur Zug, umgekehrt nur Druck. Für die nach der Mitte zu fallenden Diagonalen nahe dem Auflager ist der Zug in Folge des Eigengewichtes meistens viel grösser, als der grösste Druck durch mobile Belastung, und es werden daher diese Diagonalen meistens nur gezogen. Eben so ergibt sich, dass die nahe dem Auflager befindlichen, nach der Mitte zu ansteigenden Diagonalen nur Druck erhalten. Die Diagonalen in dem mittleren Theile des Trägers werden dagegen sowohl gezogen, wie gedrückt.

3) Parallelträger mit Fachwerk.

α) Berechnung der Spannungen in den Gurtungen. Für eine beliebige Belastung wird im vorliegenden Falle genau so, wie in Art. 383, S. 343, wenn  $M$  das Biegemoment für den einem oberen Gurtungsstabe conjugirten Punkt,  $M'$  das Biegemoment für den einem unteren Gurtungsstabe conjugirten Punkt bezeichnet,

$$X = -\frac{M}{h} \quad \text{und} \quad Z = \frac{M'}{h} \dots \dots \dots 215.$$

Auch hier findet das Maximum der Beanspruchung der Gurtungsstäbe bei totaler Belastung des Trägers statt.

Für die Belastung durch Eigengewicht, bzw. totale gleichmässig vertheilte mobile Belastung (Fig. 191) ist die Spannung in den Gurtungsstäben davon unabhängig, ob die Lasten an der oberen oder an der unteren Gurtung angreifen. Es ist die Auflager-Reaction

$$D_0 = D_1 = (n-1) \frac{g a}{2}.$$

Für den  $m$ -ten Stab der oberen, bzw. der unteren Gurtung erhält man die durch das Eigengewicht  $g$  pro Längeneinheit erzeugten Spannungen

$$X_g = -\frac{g a^2 m (n-m)}{2 h} \quad \text{und} \quad Z_g = \frac{g a^2}{2 h} (m-1) (n-m+1) \dots 216.$$

und die durch totale mobile Belastung  $p$  pro Längeneinheit erzeugten Spannungen

$$X_p = -\frac{p a^2 m (n-m)}{2 h} \quad \text{und} \quad Z_p = \frac{p a^2}{2 h} (m-1) (n-m+1) \dots 217.$$

$X_p$  und  $Z_p$  sind zugleich die Maximalspannungen, die durch mobile Belastung hervorbracht werden.

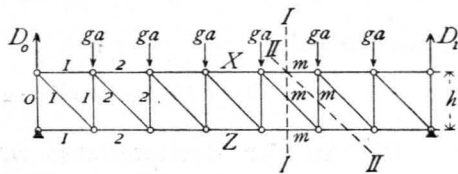
β) Berechnung der Spannungen in den Gitterstäben. Für das Fragment in Fig. 192 sei bei beliebiger Belastung die Transversalkraft  $Q$ ; alsdann ist für die Spannung in der Diagonalen

$$Y \cos \alpha = Q, \quad \text{woraus} \quad Y = \frac{Q}{\cos \alpha} \dots \dots \dots 218.$$

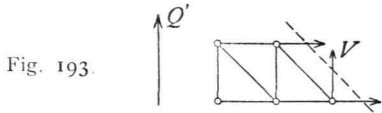
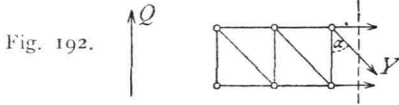
Ist in Fig. 193 die Transversalkraft für das Fragment  $Q'$ , so ist die Spannung in der Verticalen

386.  
Berechnung  
d. Gurtungs-  
spannungen.

Fig. 191.



387.  
Berechnung  
d. Gitterstabs-  
spannungen.



$$V = - Q' \dots \dots \dots 219.$$

Für die Diagonalen ist es, da der Schnitt vertical gelegt werden kann, gleichgiltig, ob die Last in der oberen oder unteren Gurtung liegt; für die Verticalen dagegen ergibt sich, da der Schnitt bei diesen schräg gelegt wird, ein wesentlich anderes  $Q'$ , wenn die Last oben, als wenn sie unten liegt.

a) Das Eigengewicht erzeugt (Fig. 191)

die Auflager-Reaction  $D_0 = (n - 1) \frac{g a}{2}$ . Um die Spannung in den Diagonalen zu finden, führen wir den Schnitt  $II$  durch die  $m$ -te Diagonale; alsdann ist die Transversalkraft  $Q_m = D_0 - (m - 1) g a = \frac{g a}{2} (n - 2 m + 1)$  und

$$Y_g = \frac{Q_m}{\cos \alpha} = \frac{g a}{2 \cos \alpha} (n - 2 m + 1) \dots \dots \dots 220.$$

Denfelben Ausdruck fanden wir in Art. 384, S. 345, Gleichung 205. für die beim Netzwerk rechts fallenden Diagonalen. Die in Bezug auf Zug und Druck dort gefundenen Resultate gelten demnach auch hier. Die nach der Mitte fallenden Diagonalen erhalten durch das Eigengewicht Zug; die nach der Mitte steigenden Diagonalen erhalten Druck.

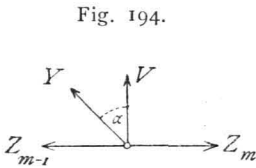
Für die Ermittlung der Spannungen in den Verticalen ist zu unterscheiden, ob die Lastpunkte oben oder unten sich befinden. Im ersteren Falle (Fig. 191) ist

$$V_m = - Q_m = - \frac{g a}{2} (n - 2 m + 1), \dots \dots \dots 221.$$

im zweiten Falle

$$V'_m = - Q'_m = - \frac{g a}{2} (n - 1 - 2 m) \dots \dots \dots 222.$$

Die Art der Beanspruchung ergibt sich entweder, wie oben in Art. 384, S. 345 gezeigt wurde, oder durch Betrachtung eines beliebigen nicht belasteten Knotenpunktes (Fig. 194).



An einem Knotenpunkte der unteren Gurtung wirken, wenn etwa die Lasten an der oberen Gurtung angenommen werden, nur die Spannungen der Stäbe, welche sich an ihm kreuzen. Die algebraische Summe aller Vertical-componenten muß Null sein, d. h. es muß  $0 = Y \cos \alpha + V$  und  $V = - Y \cos \alpha$  sein. Hieraus folgt der Satz: Die beiden Gitterstabsspannungen am Knotenpunkte der nicht belasteten Gurtung haben entgegengesetzte Beanspruchung; die Belastung, welche in einer Diagonalen Zug erzeugt, erzeugt in derjenigen Verticalen, welche mit ihr an einem Knotenpunkte der nicht belasteten Gurtung zusammen trifft, Druck und umgekehrt.

b) Für die ungünstigste Beanspruchung der Gitterstäbe, welche durch mobile Belastung hervorgebracht wird, ergibt sich betreff der Diagonalen durch dieselbe Beweisführung, wie in Art. 384, S. 346, die gleiche Regel wie dort. Für die Verticalen ergibt sich zugleich aus dem Schlusssatze unter a: Jede Verticale erhält ihren größten Druck (bezw. Zug) bei derjenigen Belastung, bei welcher die mit ihr

an einem unbelasteten Knotenpunkte zusammen treffende Diagonale ihren größten Zug (bezw. Druck) erhält.

Wirken die Lasten an der oberen Gurtung, so ergeben sich die Werthe für die Spannungen, wenn wir wiederum zur Ermittlung von  $Q$  die Knotenpunktsbelastungen durch gleichförmig vertheilte Lasten ersetzt denken, wie folgt. Für das Maximum von  $Y_m$  und das Minimum von  $V_m$  ergibt sich nach Fig. 195 die Auflager-Reaction

Fig. 195.

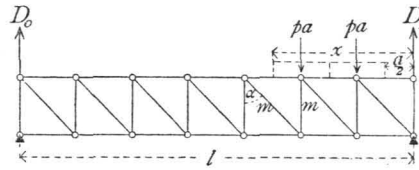
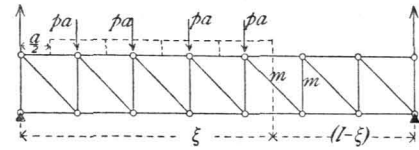


Fig. 196.



$$D_0 = \frac{p \left( x - \frac{a}{2} \right)}{2l} \left( x + \frac{a}{2} \right) = \frac{p}{2l} \left[ x^2 - \left( \frac{a}{2} \right)^2 \right] = Q_m.$$

Sonach

$$Y_{m_{max}} = \frac{p}{2l \cos \alpha} \left[ x^2 - \left( \frac{a}{2} \right)^2 \right] \quad \text{und} \quad V_{m_{min}} = - \frac{p}{2l} \left[ x^2 - \left( \frac{a}{2} \right)^2 \right] \quad 223.$$

Für  $Y_{min}$  und  $V_{max}$  findet man nach Fig. 196

$$D_0 = \frac{p \left( \xi - \frac{a}{2} \right) \left[ \frac{\xi - \frac{a}{2}}{2} + l - \xi \right]}{l} = p \left( \xi - \frac{a}{2} \right) - \frac{p}{2l} \left[ \xi^2 - \left( \frac{a}{2} \right)^2 \right];$$

$$Q = - \frac{p}{2l} \left[ \xi^2 - \left( \frac{a}{2} \right)^2 \right];$$

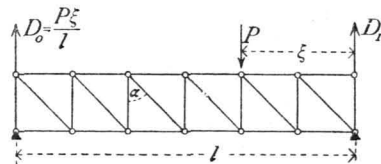
$$Y_{m_{min}} = - \frac{p}{2l \cos \alpha} \left[ (l-x)^2 - \left( \frac{a}{2} \right)^2 \right] \quad \text{und} \quad V_{m_{max}} = - \frac{p}{2l} \left[ (l-x)^2 - \left( \frac{a}{2} \right)^2 \right] \quad 224.$$

$x$  bedeutet den Abstand der Mitte desjenigen Feldes, zu dem die Diagonale gehört, vom rechten Auflager; bei den Verticalen die Mitte des Feldes, zu welchem diejenige Diagonale gehört, die mit der Verticalen an einem Knotenpunkte der nicht belasteten Gurtung zusammentrifft (hier also der unteren Gurtung).

Greifen die Lasten an der unteren Gurtung an, so stimmen die Formeln für die Diagonalen genau mit den eben entwickelten; auch diejenigen für die Verticalen, wenn man beachtet, dass  $x$  den soeben erwähnten Werth hat, dass sich also  $x$  hier auf die Mitte des Feldes bezieht, zu dem die Diagonale gehört, welche mit der Verticalen an einem Knotenpunkte der oberen Gurtung sich schneidet.

c) Wenn der Träger durch eine Einzellast belastet wird (Fig. 197), so erhält jede Diagonale zwischen dem Lastpunkt und dem linken Auflager, nach welchem hier die Diagonalen steigen, einen Zug

Fig. 197.



$$Y = \frac{P \xi}{l \cos \alpha}, \quad \dots \quad 225.$$

jede Verticale auf dieser Seite der Last einen Druck

$$V = - \frac{P \xi}{l} \dots \dots \dots 226.$$

Jede Diagonale zwischen dem Lastpunkt und dem rechten Auflager, nach dem die Diagonalen hier fallen, erhält einen Druck

$$Y = - \frac{P(l - \xi)}{l \cos \alpha}, \dots \dots \dots 227.$$

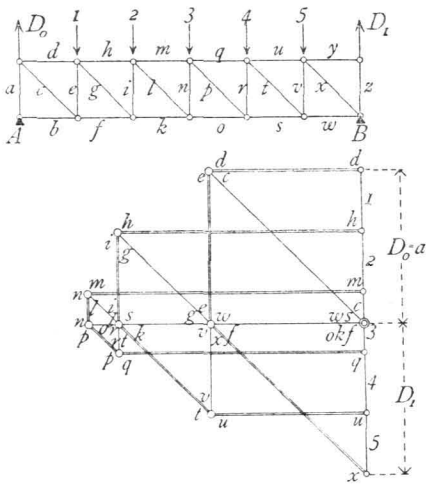
jede Verticale auf dieser Seite einen Zug

$$V = \frac{P(l - \xi)}{l} \dots \dots \dots 228.$$

388.  
Graphische  
Ermittlung  
der  
Spannungen.

γ) Graphische Ermittlung der Spannungen. Der Träger sei durch eine gleichmäÙig vertheilte Last (Eigengewicht, bzw. totale mobile Belastung) belastet; in jedem Knotenpunkte der oberen Gurtung wirke die Last  $ga$ , bzw.  $pa$ . Hiernach ist in Fig. 198 der Kräfteplan nach der Cremona'schen Methode construiert, worüber weitere Bemerkungen unnöthig sind.

Fig. 198.



Wenn die Zeichnung für eine Belastung  $g$  pro Längeneinheit construiert ist, so geben die Längen der einzelnen Linien auch zugleich die Beanspruchungen für die Belastung  $p$  pro Längeneinheit, falls dieselben nur auf einem Maßstabe abgegriffen werden, auf welchem diejenige Länge  $pa$  bedeutet, welche vorher  $ga$  bedeutet hatte.

Sind die Maximalspannungen in den Gitterstäben, welche durch mobile Belastung erzeugt werden, zu bestimmen, so ergibt die Vergleichung der in Art. 387, S. 353 für  $Y_{max}$  und  $V_{max}$  gefundenen Werthe

mit den in Art. 384, S. 347 für den Parallelträger mit Netzwerk gefundenen Werthen für  $Y$  und  $Q$  die genaue Uebereinstimmung beider, falls  $x$  den in Art. 387, S. 353 angegebenen Werth hat.

Die unten stehende Curve (Fig. 199) ergibt demnach die Werthe für  $Q_{max}$

Fig. 199.

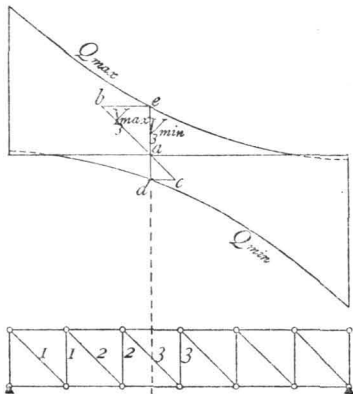
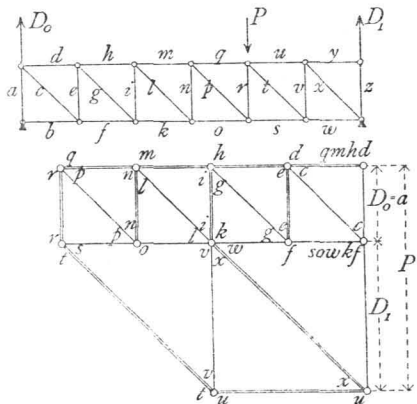


Fig 200.



so wie  $Q_{min}$  und damit, wie gezeichnet, leicht die Werthe für  $Y$  und  $V$ . Der für  $V_{3min}$  angegebene Werth entspricht einer Belaftung der oberen Gurtung.

Auch die *Culmann'sche* Methode giebt rasch die gefuchten Resultate.

Die Ermittlung fämmlicher Spannungen, welche eine Einzellaft hervorbringt, ergibt sich leicht mittels des *Cremona'schen* Kräfteplans, wie neben stehend (Fig. 200) gezeichnet ist.

#### 4) Parallelträger mit nur gezogenen, bzw. nur gedrückten Diagonalen.

Im vorhergehenden Kapitel ist gezeigt worden, daß die gedrückten Stäbe mit Rücksicht auf Widerstand gegen Zerknicken wesentlich stärker construirt werden müssen, als die einfache Druckbeanspruchung erfordert. Bei der Bestimmung der Querschnittsgröße sind Zuschläge zu machen, welche bei den gezogenen Stäben nicht nöthig sind. Man wird deshalb bei gewissen Materialien, besonders bei Schmiedeeisen, die Verwendung gedrückter Stäbe möglichst beschränken, und statt deren, wenn möglich, gezogene anordnen. Wo aber gedrückte Stäbe nicht entbehrt werden können, empfiehlt es sich, die kürzeren Stäbe als gedrückte, die längeren als gezogene anzuordnen. Bei manchen Materialien hingegen, insbesondere beim Holz, macht die Anordnung der Verbindungen eine möglichst geringe Verwendung von Zugstäben und eine möglichst ausgedehnte Verwendung von Druckstäben wünschenswerth.

Bei den Trägern mit Fachwerk ist die Anordnung von nur gezogenen, bzw. nur gedrückten Diagonalen möglich.

Wir betrachten zunächst die Träger mit nur gezogenen Diagonalen.

Wie in Art. 387, S. 352 nachgewiesen ist, erzeugt das Eigengewicht, so wie auch eine totale gleichmäßige Belaftung aller Knotenpunkte in den nach der Mitte fallenden Diagonalen Zug, in den nach der Mitte steigenden Diagonalen Druck. Soll also durch die angegebene Belaftung, welche für den Hochbau weitaus die wichtigste ist, in den Diagonalen nur Zug entstehen, so ordnet man nur nach der Mitte fallende Diagonalen an, construirt also den Träger genau symmetrisch zur Mitte (Fig. 201). Ist die Felderzahl ungerade, so erhalten die Diagonalen in dem Mittelfelde bei dieser Belaftung den Zug und Druck Null (Fig. 202). Bei dieser Trägerform erhalten je zwei symmetrisch zur Mitte liegende Stäbe gleiche Spannungen; dieselben wurden früher für die eine Hälfte gefunden und sind demnach leicht zu übertragen.

Die in Fig. 201 und 202 gezeichneten Diagonalen erhalten aber durch mobile, nicht über den ganzen Träger ausgedehnte Belaftung eventuell Druckbeanspruchungen, und zwar findet, wie oben ermittelt, in einer Diagonalen der größte Druck statt, wenn die Knotenpunkte vom Kopfpunkte der Diagonalen bis zu demjenigen Auflager, nach welchem der Kopf der Diagonalen hinweist, belaftet, die übrigen Knotenpunkte aber unbelaftet sind. Durch das stets noch vorhandene Eigengewicht findet andererseits in den Diagonalen eine beständige Zugspannung statt, welche die erwähnte Druckbeanspruchung vermindert. Diejenigen Diagonalen nun, bei denen (beides

389.  
Princip.

390.  
Träger  
mit nur  
gezogenen  
Diagonalen.

Fig. 201.

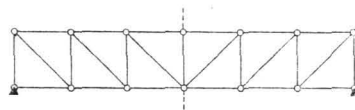
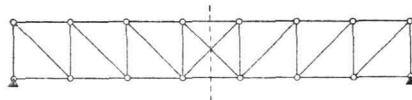


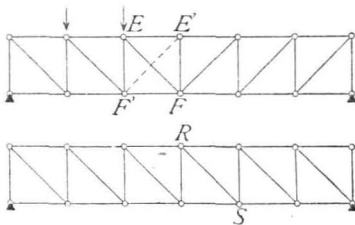
Fig. 202.



absolut genommen) die Zugspannung durch das Eigengewicht größer ist, als die größte Druckspannung in Folge mobiler Last, werden stets gezogen, nie gedrückt. Bei denjenigen Diagonalen dagegen, welche durch das Eigengewicht einen geringeren Zug erhalten, als ungünstigsten Falles der Druck durch mobile Belastung beträgt (wiederum beides absolut genommen), wird eine Druckbeanspruchung eintreten, die zu vermeiden ist. Man bringt deshalb in dem betreffenden Felde eine zweite Diagonale mit einer solchen Richtung an, daß die mobile Belastung, welche in der bereits im Felde vorhandenen Diagonalen Druck erzeugt, in der zweiten Diagonalen Zug hervorruft. Die Diagonale muß demnach so gerichtet sein, daß die erwähnte mobile Belastung die Knotenpunkte vom Fußpunkte der Diagonalen an bis zu demjenigen Auflager belastet, nach welchem dieser Fußpunkt hinweist; mit anderen Worten, man bringt eine Diagonale an, welche die bereits vorhandene Diagonale kreuzt, eine sog. Gegendiagonale (in Fig. 203 die punktirte Diagonale  $E'F'$ ).

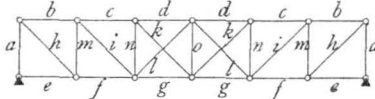
Damit dieselbe aber auch wirksam sei, erhält die Hauptdiagonale  $EF$  einen derartigen Querschnitt, daß sie bei Druckspannungen ausbiegt, daß sie also in diesem

Fig. 203.



genau so zu ermitteln, als wären die Hauptdiagonalen nicht vorhanden; jede Gegendiagonale, z. B. etwa  $E'F'$ , befindet sich genau in derselben Lage, wie die symmetrisch zur Trägermitte liegende Hauptdiagonale in dem Träger mit nur nach einer Seite

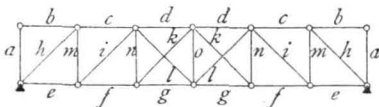
Fig. 204.



fallenden Diagonalen, also hier wie  $RS$  (Fig. 203). Die oben gefundenen Spannungen sind daher hier sofort zu verwerthen. Der Träger würde demnach die Form der Fig. 204 erhalten, in welcher je zwei Stäbe mit gleichen Bezeichnungen gleiche Spannungen erleiden.

Bei der Construction eines Trägers mit nur gedrückten Diagonalen ist nach gleichen Principien zu verfahren. Zunächst sind beiderseits nur nach der Mitte ansteigende Diagonalen zu verwenden, damit man für Belastung durch Eigengewicht, bezw. Totallast nur Druck erhalte. In denjenigen Feldern alsdann, in welchen die Diagonalen eventuell Zugspannung erhalten würden, sind wie oben Gegendiagonalen anzuordnen (Fig. 205). Die Verbindung in den Knotenpunkten ist so anzuordnen, daß die Hauptdiagonalen keinen Zug übertragen können.

Fig. 205.



Die Beanspruchung der Verticalen ergibt sich nach Art. 387, S. 352 stets der Beanspruchung derjenigen Diagonalen entgegengesetzt, welche an einem unbelasteten Knotenpunkte mit der Verticalen

zusammentrifft. Werden demnach alle Diagonalen nur gezogen, so werden alle Verticalen nur gedrückt (Fig. 204); werden alle Diagonalen nur gedrückt, so werden alle Verticalen nur gezogen (Fig. 205). Im zweiten Falle werden dieselben meistens aus Schmiedeeisen hergestellt, während die Diagonalen aus Holz bestehen.

Beispiel. Eine als Parallelträger mit Fachwerk (nach Art der Fig. 201) construirte Dachpfette hat folgende Dimensionen und Belastungen: Stützweite  $l = 15$  m; Höhe zwischen den Gurtungs-Schwerpunkten  $h = 0,6$  m; Anzahl der Felder  $n = 20$ ; Feldweite  $a = 0,75$  m; die Diagonalen fallen jederseits nach der Trägermitte zu; Gegendiagonalen sind nicht vorhanden. Die Belastung durch das Eigengewicht pro lauf. Meter ist  $g = 66$  kg, also pro Knotenpunkt  $g a = 66 \cdot 0,75 = 49,5$  kg oder rot. 50 kg. Die verticale Belastung durch Schnee- und Winddruck pro lauf. Meter ist  $p = 235$  kg, also pro Knotenpunkt  $p a = 235 \cdot 0,75 = \infty 175$  kg. Es sind die durch diese Belastungen entstehenden Spannungen zu berechnen.

392.  
Beispiel.

1) Spannungen in den Gurtungen. Nach Gleichung 216. und 217. sind für den  $m$ -ten Stab der oberen Gurtung

$$X_g = - \frac{50 \cdot 0,75 \cdot m (20 - m)}{1,2} = - 31,25 m (20 - m);$$

$$X_p = - \frac{175 \cdot 0,75 \cdot m (20 - m)}{1,2} = - 109,37 m (20 - m).$$

Für den  $m$ -ten Stab der unteren Gurtung sind nach Gleichung 216. und 217.

$$Z_g = \frac{50 \cdot 0,75}{1,2} (m - 1) (21 - m) = + 31,25 (m - 1) (21 - m) \text{ und } Z_p = 109,37 (m - 1) (21 - m).$$

Man erhält aus vorstehenden Ausdrücken, indem man der Reihe nach für  $m$  die Werthe 1, 2, 3, . . . 9, 10 einführt, die Gurtungsspannungen der Stäbe links der Mitte. Die Spannungen in den symmetrisch zur Mitte liegenden Stäben sind den gefundenen genau gleich. Die Addition der Werthe  $X_g$  und  $X_p$  ergibt die Maximalspannungen in der oberen, die Addition der Werthe  $Z_g$  und  $Z_p$  die Maximalspannungen in der unteren Gurtung. Die Resultate sind in umfendender Tabelle 1 angegeben.

2) Spannungen in den Diagonalen.  $\alpha$ ) Durch das Eigengewicht. Nach Gleichung 220. ist für die  $m$ -te Diagonale die Spannung durch das Eigengewicht, da hier  $\cos \alpha = \frac{0,6}{\sqrt{0,6^2 + 0,75^2}} = 0,625$ ,

$$Y_g = \frac{50}{1,25} (21 - 2m) = 40 (21 - 2m).$$

Durch Einsetzung der Zahlenwerthe 1, 2, 3, . . . 9, 10 für  $m$  erhält man die Spannungen der umfendenden Tabelle 2.

$\beta$ ) Durch die mobile Belastung. Im vorliegenden Fall ist die mobile Belastung in zwei Theile zu trennen. Der Winddruck kann nur gleichzeitig den ganzen Träger belasten; die durch diesen erzeugten Spannungen berechnen sich also nach der obigen Formel der Gleichung 220., wenn in dieselbe statt  $g$  die Verticalcomponente der Windbelastung pro lauf. Meter eingeführt wird. Dieselbe beträgt im vorliegenden Falle 88 kg; mithin ist

$$Y_w = \frac{88 \cdot 0,75}{1,25} (21 - 2m) = 53 (21 - 2m).$$

Die Schneebelastung pro lauf. Meter des Trägers ist  $p_1 = 147$  kg. Die Maximal-Zug-, bezw. -Druckspannungen, welche durch diese Belastung in den Diagonalen hervorgerufen werden, sind nach Gleichung 223. u. 224.

$$Y_p \max = \frac{147}{2 \cdot 15 \cdot 0,625} (x^2 - 0,375^2) = 7,84 (x^2 - 0,141);$$

$$Y_p \min = - \frac{147}{2 \cdot 15 \cdot 0,625} [(l - x)^2 - 0,375^2] = - 7,84 [(15 - x)^2 - 0,141].$$

Für  $x$  sind der Reihe nach die Werthe einzusetzen:  $15 - \frac{a}{2} = 14,625$ ,  $15 - \frac{3a}{2} = 13,875$ ,  $15 - \frac{5a}{2} = 13,125$ ,  $15 - \frac{7a}{2} = 12,375$ , 11,625, 10,875, 10,125, 9,375, 8,625, 7,875. Die symmetrisch zur Mitte liegenden Diagonalen erhalten gleich große Spannungen.

Man erhält die in der umfendenden Tabelle 2 angegebenen Werthe.

3) Spannungen in den Verticalen.  $\alpha$ ) Durch das Eigengewicht. Nach Gleichung 221. ist, da die Lastpunkte oben liegen,

Tabelle 1: Spannungen in den Gurtungen (in Kilogr.).

| Für             |               | $m = 1$  | 2      | 3      | 4      | 5       | 6       | 7       | 8       | 9       | 10      | 11      | 12      | 13      | 14      | 15      | 16      | 17     | 18     | 19     | 20     |
|-----------------|---------------|----------|--------|--------|--------|---------|---------|---------|---------|---------|---------|---------|---------|---------|---------|---------|---------|--------|--------|--------|--------|
| Obere Gurtung,  | $X_g$         | = - 594  | - 1125 | - 1594 | - 2000 | - 2344  | - 2625  | - 2844  | - 3000  | - 3094  | - 3125  | - 3125  | - 3094  | - 3000  | - 2844  | - 2625  | - 2344  | - 2000 | - 1594 | - 1125 | - 594  |
|                 | $X_\beta$     | = - 2078 | - 3937 | - 5579 | - 7000 | - 8204  | - 9187  | - 9954  | - 10500 | - 10829 | - 10937 | - 10937 | - 10829 | - 10500 | - 9954  | - 9187  | - 8204  | - 7000 | - 5579 | - 3937 | - 2078 |
|                 | $X_g + \beta$ | = - 2672 | - 4062 | - 7173 | - 9000 | - 10548 | - 11812 | - 12798 | - 13500 | - 13923 | - 14062 | - 14062 | - 13923 | - 13500 | - 12798 | - 11812 | - 10548 | - 9000 | - 7173 | - 4062 | - 2672 |
| Untere Gurtung, | $Z_g$         | = 0      | 594    | 1125   | 1594   | 2000    | 2344    | 2625    | 2844    | 3000    | 3094    | 3094    | 3000    | 2844    | 2625    | 2344    | 2000    | 1594   | 1125   | 594    | 0      |
|                 | $Z_\beta$     | = 0      | 2078   | 3937   | 5579   | 7000    | 8204    | 9187    | 9954    | 10500   | 10829   | 10829   | 10500   | 9954    | 9187    | 8204    | 7000    | 5579   | 3937   | 2078   | 0      |
|                 | $Z_g + \beta$ | = 0      | 2672   | 4062   | 7173   | 9000    | 10548   | 11812   | 12798   | 13500   | 13923   | 13923   | 13500   | 12798   | 11812   | 10548   | 9000    | 7173   | 4062   | 2672   | 0      |

Tabelle 2: Spannungen in den Diagonalen (in Kilogr.).

| Für             |   | $m = 1$        | 2    | 3    | 4    | 5    | 6     | 7     | 8     | 9     | 10    | 11    | 12    | 13    | 14    | 15    | 16   | 17   | 18   | 19   | 20   |
|-----------------|---|----------------|------|------|------|------|-------|-------|-------|-------|-------|-------|-------|-------|-------|-------|------|------|------|------|------|
| $Y_g$           | = | 760            | 680  | 600  | 520  | 440  | 360   | 280   | 200   | 120   | 40    | 40    | 120   | 200   | 280   | 360   | 440  | 520  | 600  | 680  | 760  |
| $Y_w$           | = | 1007           | 901  | 795  | 689  | 583  | 477   | 371   | 265   | 159   | 53    | 53    | 159   | 265   | 371   | 477   | 583  | 689  | 795  | 901  | 1007 |
| $x$             | = | $\approx 14,6$ | 13,9 | 13,1 | 12,4 | 11,6 | 10,9  | 10,1  | 9,4   | 8,6   | 7,9   | 7,9   | —     | —     | —     | —     | —    | —    | —    | —    | —    |
| $Y_{\beta max}$ | = | + 1666         | 1513 | 1344 | 1204 | 1054 | 930   | 799   | 692   | 579   | 488   | 488   | 579   | 692   | 799   | 930   | 1054 | 1204 | 1344 | 1513 | 1666 |
| $Y_{\beta min}$ | = | 0              | - 8  | - 27 | - 52 | - 90 | - 131 | - 187 | - 245 | - 320 | - 394 | - 394 | - 320 | - 245 | - 187 | - 131 | - 90 | - 52 | - 27 | - 8  | 0    |

Tabelle 3: Spannungen in den Verticalen (in Kilogr.).

| Für             |   | $m = 0^*)$ | 1      | 2     | 3     | 4     | 5     | 6     | 7     | 8     | 9     | 10 <sup>**)</sup>   | 11    | 12    | 13    | 14    | 15    | 16    | 17    | 18    | 19     | 20 <sup>*)</sup> |
|-----------------|---|------------|--------|-------|-------|-------|-------|-------|-------|-------|-------|---------------------|-------|-------|-------|-------|-------|-------|-------|-------|--------|------------------|
| $V_g$           | = | - 500      | - 475  | - 425 | - 375 | - 325 | - 275 | - 225 | - 175 | - 125 | - 75  | - 50                | - 75  | - 125 | - 175 | - 225 | - 275 | - 325 | - 375 | - 425 | - 475  | - 500            |
| $V_w$           | = | - 660      | - 627  | - 561 | - 495 | - 429 | - 363 | - 297 | - 231 | - 165 | - 99  | - 66                | - 99  | - 165 | - 231 | - 297 | - 363 | - 429 | - 495 | - 561 | - 627  | - 660            |
| $x$             | = |            | 14,6   | 13,9  | 13,1  | 12,4  | 11,6  | 10,9  | 10,1  | 9,4   | 8,6   | 7,9                 | —     | —     | —     | —     | —     | —     | —     | —     | —      | —                |
| $V_{\beta min}$ | = | - 1103     | - 1044 | - 946 | - 840 | - 753 | - 659 | - 581 | - 499 | - 433 | - 362 | - 110 <sup>*)</sup> | - 362 | - 433 | - 499 | - 581 | - 659 | - 753 | - 840 | - 946 | - 1044 | - 1103           |
| $V_{\beta max}$ | = | 0          | 0      | + 5   | + 17  | + 33  | + 56  | + 82  | + 117 | + 153 | + 200 | 0                   | + 200 | + 153 | + 117 | + 82  | + 56  | + 33  | + 17  | + 5   | 0      | 0                |

<sup>\*)</sup> In der Endverticalen ist der Druck stets gleich der Auflager-Reaction, d. h., da die Belaftung des Endknotenpunkts  $\frac{g \cdot a}{2}$  hinzukommt, für Eigengewicht =  $-\frac{g \cdot a}{2} (n - 1) - \frac{g \cdot a}{2}$  =  $-\frac{g \cdot a}{2} n = -25 \cdot 20 = -500$  kg; für Winddruck =  $-\frac{88 \cdot 0,75}{2} n = -660$  kg. Die größte Beanspruchung durch Schneelast findet in derselben bei totaler Belaftung durch Schnee statt, weil bei dieser die Auflager-Reaction am größten ist. Demnach ist  $V_{\beta min} = -\frac{\beta \cdot a}{2} n = -\frac{147 \cdot 0,75}{2} \cdot 20 = -1103$  kg. Zug kann in dieser Verticalen nicht entstehen.

<sup>\*\*)</sup> Auf die Mittelverticale (Nr. 10) sind die obigen Gleichungen nicht anwendbar, weil an ihrem unteren Endpunkte sich die zwei Diagonalen der aufstossenden Felder treffen, also der schiefe Schnitt andere Stäbe trifft, als bei der Entwicklung der Formeln vorgesehen war. Da am oberen Endpunkt der Verticalen keine Diagonale ansetzt, so kann dieselbe nur solche Verticalkräfte aufnehmen, welche im oberen Knotenpunkte direct angreifen. Wir erhalten also die Spannungen in derselben genau so groß, wie die Knotenpunktsbelaftungen. Diese Werthe sind in der obigen stehende Tabelle eingefetzt worden.

$$V_g = -\frac{50}{2} (21 - 2m) = -25 (21 - 2m).$$

3) Durch mobile Belaftung. Die Spannung in den Verticalen durch den Winddruck ist entsprechend dem sub 2. Angeführten

$$V_w = -\frac{88 \cdot 0,75}{2} (n - 2m + 1) = -33 (21 - 2m).$$

Die Maximal-Druck-, bezw. -Zugspannungen durch Schneelast endlich ergeben sich aus den Gleichungen 223. u. 224. zu

$$V_p \text{ min} = -\frac{147}{2 \cdot 15} (x^2 - 0,141) = -4,9 (x^2 - 0,141) \quad \text{und} \quad V_p \text{ max} = 4,9 [(l - x^2) - 0,141].$$

Für  $x$  sind dieselben Werthe, wie bei den Diagonalen einzuführen. Man erhält die Werthe der neben stehenden Tabelle 3.

4) Zusammenstellung der Spannungen für die Querschnittsbestimmung. Sollen die Querschnitte nach der neueren Methode bestimmt werden, so ist für jeden Stab die Spannung durch die permanente Belaftung  $P_g$ , die Maximalspannung durch mobile Belaftung  $P_1$  und die Minimalspannung durch dieselbe Belaftung  $P_2$  zu ermitteln (siehe Art. 284 bis 287, S. 250 bis 252). Ueberwiegt im Stabe der Zug, so ist  $P_1$  der Maximalzug,  $P_2$  der Maximaldruck durch mobile Belaftung; überwiegt im Stabe der Druck, so ist  $P_1$  der Maximaldruck,  $P_2$  der Maximalzug durch mobile Belaftung. Die Werthe für  $P_0$ ,  $P_1$  und  $P_2$  ergeben sich leicht aus neben stehenden Tabellen. Zunächst geben die  $X_g$ ,  $Z_g$ ,  $Y_g$  und  $V_g$  die Werthe der  $P_0$ , die  $X_p$ ,  $Z_p$ ,  $Y_p$  und  $V_p$  die Werthe der  $P_1$ , endlich die  $Y_p \text{ min}$  und  $V_p \text{ max}$  die Werthe der  $P_2$ . Danach ist folgende Tabelle zusammengestellt.

| Obere Gurtung:<br>Druck |         |         | Untere Gurtung:<br>Zug |         |         | Diagonalen:<br>Ueberwiegender Zug |            |        |       | Verticalen:<br>Ueberwiegender Druck |            |        |       |
|-------------------------|---------|---------|------------------------|---------|---------|-----------------------------------|------------|--------|-------|-------------------------------------|------------|--------|-------|
| Stab<br>Nr.             | $P_0$   | $P_1$   | Stab<br>Nr.            | $P_0$   | $P_1$   | Stab<br>Nr.                       | $P_0$      | $P_1$  | $P_2$ | Stab<br>Nr.                         | $P_0$      | $P_1$  | $P_2$ |
| 1 u. 20                 | - 594   | - 2078  | 1 u. 20                | 0       | 0       | 1 u. 20                           | + 760      | + 2673 | 0     | 0 u. 20                             | - 500      | - 1763 | 0     |
| 2 u. 19                 | - 1125  | - 3937  | 2 u. 19                | + 594   | + 2078  | 2 u. 19                           | + 680      | + 2414 | - 8   | 1 u. 19                             | - 475      | - 1671 | 0     |
| 3 u. 18                 | - 1594  | - 5579  | 3 u. 18                | + 1125  | + 3937  | 3 u. 18                           | + 600      | + 2139 | - 27  | 2 u. 18                             | - 425      | - 1507 | + 5   |
| 4 u. 17                 | - 2000  | - 7000  | 4 u. 17                | + 1594  | + 5579  | 4 u. 17                           | + 520      | + 1893 | - 52  | 3 u. 17                             | - 375      | - 1335 | + 17  |
| 5 u. 16                 | - 2344  | - 8204  | 5 u. 16                | + 2000  | + 7000  | 5 u. 16                           | + 440      | + 1637 | - 90  | 4 u. 16                             | - 325      | - 1182 | + 33  |
| 6 u. 15                 | - 2625  | - 9187  | 6 u. 15                | + 2344  | + 8204  | 6 u. 15                           | + 360      | + 1407 | - 131 | 5 u. 15                             | - 275      | - 1022 | + 56  |
| 7 u. 14                 | - 2844  | - 9954  | 7 u. 14                | + 2625  | + 9187  | 7 u. 14                           | + 280      | + 1170 | - 187 | 6 u. 14                             | - 225      | - 878  | + 82  |
| 8 u. 13                 | - 3000  | - 10500 | 8 u. 13                | + 2844  | + 9954  | 8 u. 13                           | + 200      | + 957  | - 245 | 7 u. 13                             | - 175      | - 730  | + 117 |
| 9 u. 12                 | - 3094  | - 10829 | 9 u. 12                | + 3000  | + 10500 | 9 u. 12                           | + 120      | + 738  | - 320 | 8 u. 12                             | - 125      | - 598  | + 153 |
| 10 u. 11                | - 3125  | - 10937 | 10 u. 11               | + 3094  | + 10829 | 10 u. 11                          | + 40       | + 541  | - 394 | 9 u. 11                             | - 75       | - 461  | + 200 |
|                         |         |         |                        |         |         |                                   |            |        |       | 10                                  | - 50       | - 176  | 0     |
|                         | Kilogr. |         |                        | Kilogr. |         |                                   | Kilogramm. |        |       |                                     | Kilogramm. |        |       |

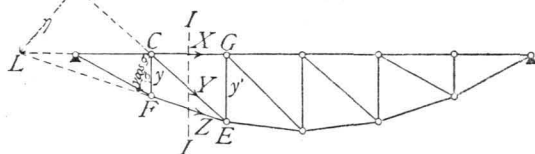
5) Parabelträger.

Wir wollen hier von den Trägern, bei denen nicht beide Gurtungen geradlinig sind, nur die Parabelträger besprechen. Parabelträger sind Träger mit einer oder zwei nach Parabeln gekrümmten Gurtungen. Es sollen nur Träger mit einer geraden und einer gekrümmten Gurtung behandelt werden.

a) Berechnung der Spannungen in der gekrümmten Gurtung. Ist die obere Gurtung gerade (Fig. 206),

so ist für einen Stab  $FE$  der unteren Gurtung  $C$  der conjugirte Punkt; mithin wird, wenn  $M$  das Moment der an der einen Seite des Schnittes  $II$  wirkenden äußeren Kräfte bezogen auf  $C$  als Drehpunkt bezeichnet,

Fig. 206.



$$O = M - Z y \cos \sigma, \quad \text{woraus} \quad Z = \frac{M}{y \cos \sigma} \quad \dots \quad 229.$$

393.  
Berechnung  
d. Spannungen  
in d. gekrümmten  
Gurtung.



Liegt die Diagonale rechts der Mitte, so fällt der conjugirte Punkt rechts vom rechten Auflager. Die Aufstellung der Momentengleichung für diesen Punkt ergibt genau wie in Gleichung 234. die Diagonalspannung als Quotienten aus dem Moment der am Fragment wirkenden äußeren Kräfte, dividirt durch den Hebelsarm der Diagonalspannung.

Häufig ist ein anderer Ausdruck der Diagonalspannung bequemer, als Gleichung 234. Die am Knotenpunkt  $C$  der geraden Gurtung (Fig. 209) angreifenden Kräfte sind im Gleichgewicht; die algebraische Summe aller Horizontal-Componenten ist demnach gleich Null; mithin

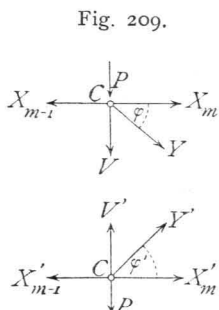


Fig. 209.

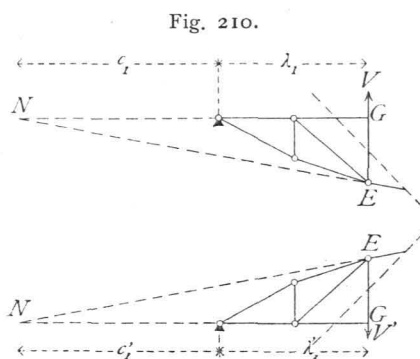


Fig. 210.

Häufig ist ein anderer Ausdruck der Diagonalspannung bequemer, als Gleichung 234. Die am Knotenpunkt  $C$  der geraden Gurtung (Fig. 209) angreifenden Kräfte sind im Gleichgewicht; die algebraische Summe aller Horizontal-Componenten ist demnach gleich Null; mithin

$$0 = Y \cos \varphi + X_m - X_{m-1}, \quad \text{woraus } Y = - \frac{X_m - X_{m-1}}{\cos \varphi}$$

$$\text{bzw. } 0 = Y' \cos \varphi' + X'_m - X'_{m-1}, \quad \text{woraus } Y' = - \frac{X'_m - X'_{m-1}}{\cos \varphi'}$$

Für die Bestimmung der Spannungen in den Verticalen ist der Schnitt schief zu legen (Fig. 210). Der conjugirte Punkt für die Verticale  $EG$  ist  $N$ . Bezeichnet  $M_2$ , bzw.  $M'_2$  das Moment der am Fragment wirkenden äußeren Kräfte für  $N$  als Drehpunkt, so wird

$$0 = V(\lambda_1 + c_1) + M_2, \quad \text{woraus } V = - \frac{M_2}{\lambda_1 + c_1}, \quad \dots \quad 236.$$

$$\text{bzw. } 0 = V'(\lambda'_1 + c'_1) - M'_2, \quad \text{woraus } V' = \frac{M'_2}{\lambda'_1 + c'_1} \dots \quad 237.$$

Falls der conjugirte Punkt nach rechts vom rechten Auflager fällt, ergibt sich eine geringe Modification der Gleichungen 236. und 237.

Ein für manche Fälle bequemerer Ausdruck wird wiederum durch Betrachtung des Knotenpunktes an der geraden Gurtung erhalten. Es ergibt sich, da die Kräfte an demselben im Gleichgewicht sind,

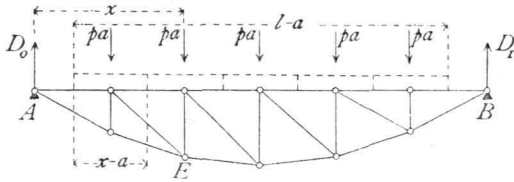
$$0 = Y \sin \varphi + V + P, \quad \text{woraus } V = - (Y \sin \varphi + P),$$

$$\text{bzw. } 0 = Y' \sin \varphi' + V' - P, \quad \text{woraus } V' = - (Y' \sin \varphi' - P)$$

δ) Totale Belastung durch mobile Last  $p$  (bzw. Eigengewicht  $g$ ) pro Längeneinheit. Nehmen wir wiederum an, dass die Lasten nur in den Knotenpunkten angreifen, so kommt auf jeden Knotenpunkt bei der Feldweite  $a$  eine Last gleich  $pa$ . Die Auflager-Reactionen  $D_0$  und  $D_1$  sind bei dieser Belastung genau eben so groß, als wenn bei dem homogen angenommenen Träger die Einzellasten  $pa$  sich je auf die Länge  $a$  gleichmäßig vertheilt; denn im zweiten Falle ist  $D_0 = \frac{p(l-a)}{2}$ , während im ersten Falle  $D_0 = \frac{pa(n-1)}{2}$  ist. Da nun  $(n-1)a = l-a$  ist, so ist im ersten Falle gleichfalls  $D_0 = \frac{p(l-a)}{2}$ .

396.  
Gleichförmig  
vertheilte  
Belastung.

Fig. 211.



Für irgend einen Knotenpunkt  $E$  (Fig. 211) ist auch das Moment in beiden Fällen gleich, wenn nur die Belaftung von der Mitte des dem Auflager zunächst liegenden Feldes bis zur Mitte desjenigen Feldes gerechnet wird, welches  $E$  vorhergeht.

Dann ist für den Punkt  $E$

$$M_x = \frac{p(l-a)}{2} x - p(x-a) \left( \frac{x-a}{2} + \frac{a}{2} \right) = \frac{p}{2} (lx - x^2).$$

Dies ist aber nach Gleichung 159. der Ausdruck für das Moment im Punkte  $E$  bei einem homogenen, gleichmäßig total mit  $p$  pro Längeneinheit belafteten Träger.

Für die gekrümmte Gurtung ist nach Gleichung 229.

$$Z \cos \sigma = \frac{M}{y}.$$

Wird für  $M$  der eben gefundene Werth, für  $y$  der Werth aus Gleichung 231. eingeführt, so wird

$$\left. \begin{aligned} Z \cos \sigma &= \frac{\frac{p}{2} (lx - x^2)}{\frac{4h}{l^2} (lx - x^2)} = \frac{p l^2}{8h} \\ \text{eben so} \quad Z' \cos \sigma &= -\frac{p l^2}{8h} \end{aligned} \right\} \dots \dots \dots 239.$$

$Z \cos \sigma$  ist die Horizontalcomponente  $H$  der Spannung in der gekrümmten Gurtung; die rechte Seite der Gleichung enthält nur constante Größen, so dass sich hieraus ergibt: Beim Parabelträger ist für gleichmäßige Belaftung des ganzen Trägers die Horizontalcomponente der Spannung in der gekrümmten Gurtung constant.

Da  $\cos \sigma = \frac{a}{\sqrt{a^2 + (y' - y)^2}} = \frac{1}{\sqrt{1 + \left(\frac{y' - y}{a}\right)^2}}$  ist, erhält man aus

Gleichung 239.

$$Z = \frac{p l^2}{8h} \sqrt{1 + \left(\frac{y' - y}{a}\right)^2} \dots \dots \dots 240.$$

Für die gerade Gurtung ist nach Gleichung 232. und 233.

$$X = -\frac{M'}{y'} \quad \text{und} \quad X' = +\frac{M'}{y'}.$$

Nun ist für die in Rede stehende Belaftung  $\frac{M}{y}$  constant, und zwar gleich

$Z \cos \sigma = H$ , also auch

$$X = -H = -\frac{p l^2}{8h} \quad \text{und} \quad X' = H = \frac{p l^2}{8h} \dots \dots \dots 241.$$

Beim Parabelträger ist sonach für eine gleichmäßig über den ganzen Träger vertheilte Belaftung die Spannung in der geraden Gurtung constant.

Für die Spannung in den Diagonalen wurde die Gleichung 235. aufgestellt. Da nun  $X_m = X_{m-1} = -H$  ist, folgt aus dieser Gleichung

$$Y = 0; \text{ eben so } Y' = 0.$$

Beim Parabelträger ist daher für die mehr erwähnte Belastungsart die Spannung in den Diagonalen gleich Null.

Die Spannung in den Verticalen ergibt sich aus Gleichung 238., da  $Y$  gleich Null,  $P = p a$  ist, zu

$$V = -p a, \text{ eben so } V' = p a.$$

Die Spannung in den Verticalen ist sonach beim Parabelträger und bei der angegebenen Belastung gleich der im Knotenpunkte der geraden Gurtung wirkenden Last, und zwar Zug, wenn die untere Gurtung gerade, und Druck, wenn die obere Gurtung gerade ist. (Dabei ist angenommen, dass die Lasten an der geraden Gurtung wirken.)

Die sämtlichen hier gefundenen Resultate gelten auch für die Belastung durch das Eigengewicht; nur ist überall statt der Last  $p$  das Eigengewicht  $g$  einzuführen. Da ferner die Momente für die Knotenpunkte aufgestellt sind, und dabei nur vorausgesetzt ist, dass  $y$  eine Parabelordinate sei, so gelten die vorhergehenden Entwicklungen auch, wenn nur die Knotenpunkte auf einer Parabel liegen, also die Curve durch ein der Parabel eingeschriebenes Polygon ersetzt wird.

ε) Ungünstigste Belastungen und grösste Stabspannungen. Da es keinen principiellen Unterschied macht, ob die obere oder die untere Gurtung gerade ist, so soll im Folgenden nur der Fall der geraden oberen Gurtung behandelt werden. Die Modificationen für den Fall der geraden unteren Gurtung ergeben sich leicht.

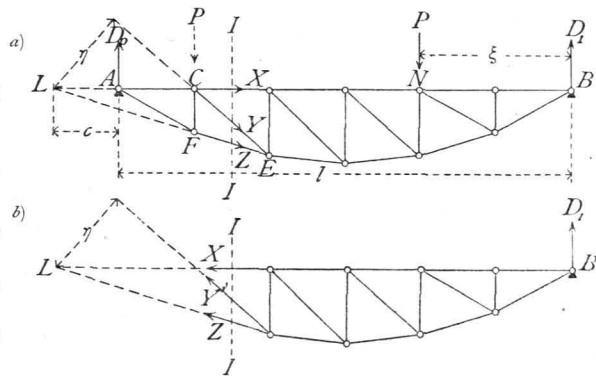
397.  
Ungünstigste  
Belastungen  
u. grösste  
Spannungen.

Die Spannungen in den Gurtungen hängen nach den Gleichungen 229., 230., 232. und 233. nur von der Grösse der Momente ab; diese aber sind bei totaler Belastung des ganzen Trägers am grössten; mithin findet Maximalspannung in den Gurtungen bei totaler mobiler Belastung statt.

Die Gleichungen 240. und 241. geben für die obere, bezw. untere Gurtung die durch totale mobile Belastung  $p$  pro Längeneinheit erzeugten Spannungen.

Die ungünstigste Belastung für eine Diagonale  $CE$  (Fig. 212 a) ergibt sich, wie folgt. Eine Last  $P$  rechts von dem durch die Mitte der Diagonalen gelegten Verticalschnitt erzeugt eine Auflager-Reaction  $D_0 = \frac{P \xi}{l}$ . Die Gleichung der statischen Momente für den Punkt  $L$  als Momentenpunkt und das Fragment des Trägers links vom Schnitt  $II$  ergibt

Fig. 212.



$$0 = Y \eta - D_0 c, \text{ woraus } Y = \frac{D_0 c}{\eta} = \frac{P \xi c}{l \eta} \dots 242.$$

So lange die Last sich rechts vom Schnitt  $II$  befindet, gilt der hier für  $Y$  gefundene Ausdruck. Jede Last rechts vom Schnitt erzeugt also in  $CE$  einen Zug.

Befindet sich die Last  $P$  links vom Schnitt  $II$  (Fig. 212 b), so betrachte man das Fragment an der rechten Seite des Schnittes; auf dasselbe wirken die Auflager-

Reaction  $D_1$  in  $B$  und die 3 Spannungen  $X$ ,  $Y'$  und  $Z$ . Die Gleichung der statischen Momente für  $L$  als Drehpunkt heisst dann

$$0 = Y' \eta + D_1 (l + c), \text{ woraus } Y' = - \frac{D_1 (l + c)}{\eta} \dots 243.$$

Die Last  $P$  links von  $II$  erzeugt also in den Diagonalen Druck und in gleicher Weise jede links vom Schnitt liegende Last.

Handelt es sich um eine rechts der Mitte liegende Diagonale, bei welcher der conjugirte Punkt von  $B$  nach rechts fällt, so findet man dieselben Resultate für die ungünstigste Belastung.

Es ergibt sich hiernach leicht Folgendes: Wenn am Fragment des Trägers, auf welchem die Einzellast nicht liegt, die betrachtete Stabspannung und die Auflager-Reaction in gleichem Sinne um den conjugirten Punkt drehen, so findet im Stabe Druck statt; wenn die Stabspannung und die Auflager-Reaction in entgegengesetztem Sinne um den conjugirten Punkt drehen, so findet im Stabe Zug statt. Die Anwendung dieses Satzes ergibt, dass auch hier das für die Parallelträger (Art. 384, S. 346) gefundene Gesetz gilt: Jede Belastung zwischen dem durch die Diagonalenmitte gelegten Verticalschnitte und demjenigen Auflager, nach welchem der Fusspunkt der Diagonale hinweist, erzeugt in derselben Zug; jede Belastung zwischen dem erwähnten Schnitte und demjenigen Auflager, nach welchem der Kopf der Diagonale hinweist, erzeugt in derselben Druck.

Maximalzug durch mobile Belastung findet demnach in einer Diagonalen statt, wenn die ganze Zugabtheilung und nur diese belastet ist, d. h. wenn alle Knotenpunkte zwischen dem Schnitte und demjenigen Auflager belastet sind, nach welchem der Fuss der Diagonale hinweist; Maximaldruck durch mobile Belastung findet statt, wenn die Knotenpunkte zwischen dem Schnitte und demjenigen Auflager belastet sind, nach welchem der Kopf der Diagonalen hinweist.

Dieses Gesetz gilt sowohl, wenn die untere, als wenn die obere Gurtung gekrümmt ist.

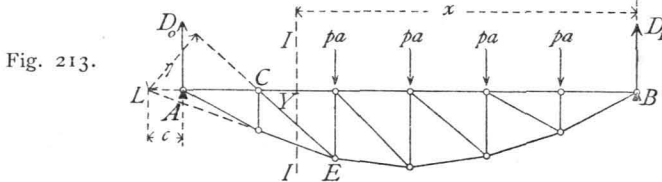


Fig. 213.

Die grösste Zugbelastung in einer Diagonalen  $CE$  findet daher bei der in Fig. 213 gezeichneten Belastung statt; sie ist nach Gleichung 242.

$$Y_{max} = \frac{D_0 c}{\eta}.$$

Genau, wie in Art. 387, S. 353, erhält man für die Auflager-Reaction

$$D_0 = \frac{p}{2l} \left[ x^2 - \left( \frac{a}{2} \right)^2 \right],$$

also

$$Y_{max} = \frac{p c}{2l \eta} \left[ x^2 - \left( \frac{a}{2} \right)^2 \right] \dots 244.$$

Die grösste Druckbeanspruchung in einer Diagonalen  $CE$  findet bei der in Fig. 214 gezeichneten Belastung statt und ist (wenn der Trägertheil rechts vom Schnitte  $II$  betrachtet wird) nach Gleichung 243.

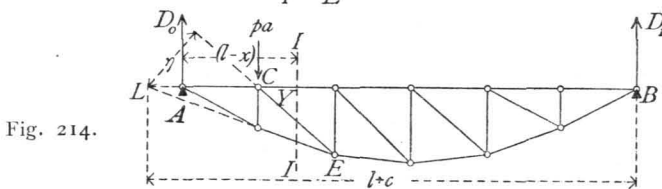


Fig. 214.

$$Y_{min} = -D_1 \left( \frac{l+c}{\eta} \right).$$

Nun ist die Auflager-Reaction  $D_1 = \frac{p}{2l} \left[ (l-x)^2 - \left( \frac{a}{2} \right)^2 \right]$ , also

$$Y_{min} = -\frac{p}{2l} \left[ (l-x)^2 - \left( \frac{a}{2} \right)^2 \right] \frac{l+c}{\eta} \dots \dots \dots 245.$$

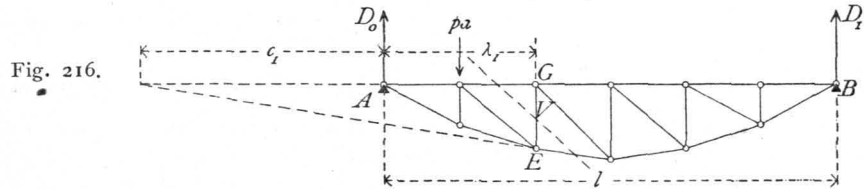
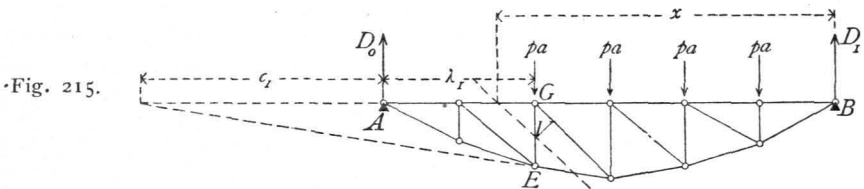
Die Gleichungen 244. und 245. gelten, wenn die Diagonalen, wie hier, nach rechts fallen, nur für diejenigen links der Mitte; für die Diagonalen rechts der Mitte, bei denen der conjugirte Punkt von  $B$  nach rechts fällt, ergeben sich folgende Werthe, in denen  $\eta_1$  den Hebelsarm von  $Y$ ,  $c_2$  den Abstand des conjugirten Punktes von  $B$  bedeutet:

$$Y_{max} = \frac{p}{2l} \left[ x^2 - \left( \frac{a}{2} \right)^2 \right] \frac{l+c_2}{\eta_1} \text{ und } Y_{min} = -\frac{p}{2l} \left[ (l-x)^2 - \left( \frac{a}{2} \right)^2 \right] \frac{c_2}{\eta_1} \quad 246.$$

Bei der angenommenen Belastungsart genügt es,  $Y_{max}$  oder  $Y_{min}$  auszurechnen; denn für die Belastung aller Knotenpunkte mit je  $pa$  ist die Diagonalspannung nach Art. 395, S. 362 gleich Null. Sind nur die Knotenpunkte der Druckabtheilung belastet, so ist die Spannung in der Diagonalen gleich  $Y_{min}$ ; sind nur die Knotenpunkte der Zugabtheilung belastet, so ist die Spannung gleich  $Y_{max}$ . Bei totaler Belastung ist die Spannung  $Y_{summa} = Y_{max} + Y_{min}$  und zwar ist  $Y_{summa} = 0$ , d. h.  $0 = Y_{max} + Y_{min}$  und  $Y_{min} = -Y_{max}$ .

Für die ungünstigste Belastung in einer Verticalen ergibt sich in gleicher Weise, wie bei den Diagonalen gezeigt ist, folgendes Gesetz: Jede Last zwischen einem durch die Verticale gelegten schrägen Schnitte und demjenigen Auflager, nach welchem der Fußpunkt der Diagonale hinweist, welche mit der Verticalen an einem Knotenpunkte der nicht mobil belasteten Gurtung zusammentrifft, erzeugt Druck; jede Last zwischen dem Schnitte und dem Auflager, nach welchem der Kopf der erwähnten Diagonale weist, erzeugt in der Verticalen Zug. Auch hier findet demnach Maximaldruck, bezw. -Zug in einer Verticalen bei derselben Belastung statt, welche in derjenigen Diagonalen Maximalzug, bezw. -Druck erzeugt, die mit der Verticalen an einem Knotenpunkte der nicht mobil belasteten Gurtung zusammentrifft.

Es wird also Maximaldruck in  $GE$  bei der in Fig. 215 gezeichneten Belastung, Maximalzug bei der in Fig. 216 gezeichneten Belastung stattfinden.



Die Maximalspannungen in den Verticalen ergeben sich mit

$$\left. \begin{aligned} V_{min} &= -\frac{D_0 c_1}{\lambda_1 + c_1} = -\frac{p}{2l} \left[ x^2 - \left( \frac{a}{2} \right)^2 \right] \frac{c_1}{\lambda_1 + c_1} \\ V_{max} &= \frac{D_1 (l + c_1)}{\lambda_1 + c_1} = \frac{p}{2l} \left[ (l - x)^2 - \left( \frac{a}{2} \right)^2 \right] \frac{l + c_1}{\lambda_1 + c_1} \end{aligned} \right\} \dots 247.$$

Falls der conjugirte Punkt um  $c'_1$  nach rechts von  $B$  fällt, was hier bei allen Verticalen rechts der Mitte incl. der Mittelverticalen stattfindet, so ergeben sich für  $V_{min}$  und  $V_{max}$  die Gleichungen

$$\left. \begin{aligned} V'_{min} &= -\frac{D_0 (l + c'_1)}{c'_1 + l - \lambda_1} = -\frac{p}{2l} \left[ x^2 - \left( \frac{a}{2} \right)^2 \right] \frac{l + c'_1}{c'_1 + l - \lambda_1} \\ V'_{max} &= \frac{D_1 c'_1}{c'_1 + l - \lambda_1} = \frac{p}{2l} \left[ (l - x)^2 - \left( \frac{a}{2} \right)^2 \right] \frac{c'_1}{c'_1 + l - \lambda_1} \end{aligned} \right\} \dots 247a.$$

Die Modificationen für Berechnung der Stabspannungen bei entgegengesetzter Richtung der Diagonalen ergeben sich aus Vorstehendem so einfach, daß darauf hier nicht weiter eingegangen zu werden braucht.

Die bei einer Belaftung durch eine oder mehrere Einzellaften erzeugten Spannungen ergibt die Momentenmethode ohne Mühe.

ζ) Graphische Ermittlung der Spannungen. Wird eine gleichmäßig vertheilte Belaftung (Eigengewicht, bezw. totale mobile Belaftung) vorausgesetzt, so ergibt der in Fig. 217 gezeichnete Cremona'sche Kräfteplan sofort die Spannungen.

Was die durch mobile Belaftung erzeugten Maximalspannungen betrifft, so ergeben sich die größten Gurtungs- spannungen aus dem eben erwähnten Kräfteplan (Fig. 217), falls eine Belaftung des ganzen Trägers mit der Last  $p$  pro Längeneinheit zu Grunde gelegt wird.

Zur Bestimmung der größten Diagonalspannungen, welche bei den im Art. 397, S. 364 angegebenen Belaftungen stattfinden, empfiehlt sich die Schnittmethode.

Auf das Fragment links vom Schnitte  $II$  wirken bei der in Fig. 218 a gezeichneten Maximal-Zugbelaftung für die Diagonale  $CE$  die Kräfte  $D_0, X, Y, Z$ . Die Werthe von  $D_0$ , welche für die ver-

schiedenen Diagonalen zu Grunde zu legen sind, ergeben sich aus der Gleichung  $D_0 = \frac{p}{2l} \left[ x^2 - \left( \frac{a}{2} \right)^2 \right]$ ; dieselben sind in der Curve (Fig. 218 b) aufgetragen. — Für die Diagonale  $CE$  z. B. ist  $D_0 = mn$ ; diese Kraft ist nach den Richtungen  $AE$  und  $X$  zerlegt in  $no$  und  $om$ ;  $no$  ist alsdann noch nach den Richtungen  $Z$  und  $Y$  in  $np$  und  $po$  zerlegt;  $po$  ist gleich  $Y_{max}$ .

Um die  $Y_{min}$  zu erhalten, kann man für  $D_1 = \frac{p}{2l} \left[ (l - x)^2 - \left( \frac{a}{2} \right)^2 \right]$  die Curve auftragen und für das Fragment rechts vom Schnitt nach der angegebenen Methode zerlegen. Da aber  $Y_{min} = -Y_{max}$  ist, so kann diese Construction unterbleiben.

Die Maximalspannungen in den Verticalen werden in gleicher Weise ermittelt.

398.  
Graphische  
Ermittlung  
der  
Spannungen.

Fig. 217.

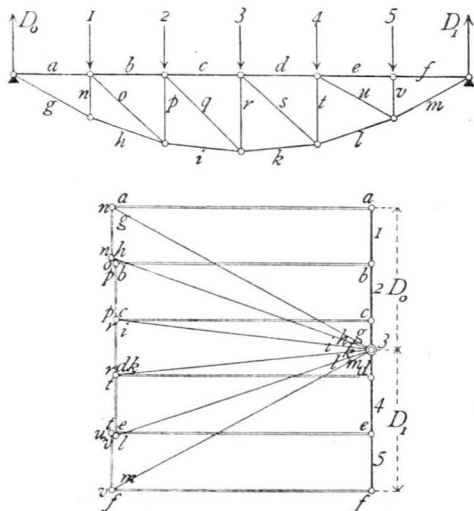


Fig. 218.

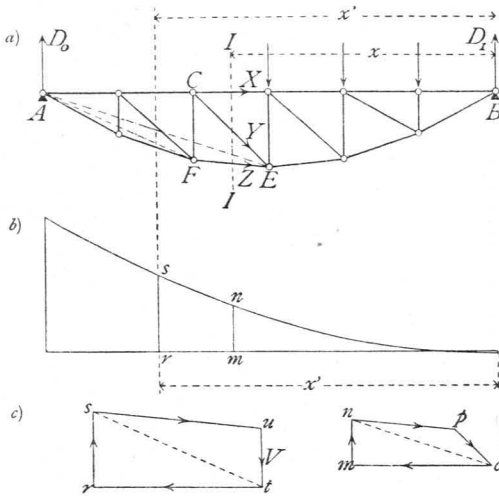


Fig. 219.

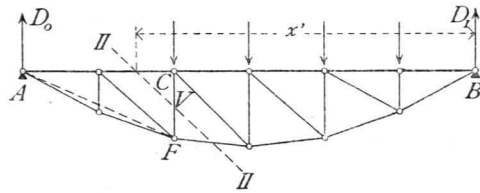
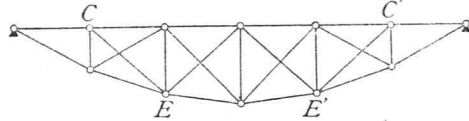


Fig. 220.



In der Verticalen  $CF$  findet Maximaldruck bei der in Fig. 219 gezeichneten Belastung statt.  $D_0$  ist hier gleich derjenigen Ordinate der Curve in Fig. 218, welche zu  $x'$  gehört, d. h. gleich  $rs$ . Nun wird genau wie oben zerlegt. Es wird  $V_{min} = ut$ . Eben so ist der Maximalzug in  $CF$  zu ermitteln.

η) Träger mit Gegendiagonalen. Jede Diagonale erleidet durch die mobile Belastung sowohl Zug, wie Druck; durch das Eigengewicht entsteht in den Diagonalen die Spannung Null; die resultirende Spannung ist also identisch mit derjenigen durch die mobile Belastung. Sollen nur gezogene Diagonalen vorkommen, so wird nach Art. 390, S. 356 in jedem Felde eine Gegendiagonale angeordnet werden müssen. Man erhält die in Fig. 220 gezeichnete Trägerform. Die Gegendiagonale  $C'E'$  wird genau eben so beansprucht werden, wie die symmetrisch zur Mitte liegende Hauptdiagonale  $CE$  des Trägers mit einseitig fallenden Diagonalen. Dasselbe gilt von allen Gegendiagonalen; es wird also die Berechnung eines Trägers mit nach einer Richtung fallenden Diagonalen genügen.

399.  
Träger  
mit Gegen-  
diagonalen.

Beispiel. Ein als Unterzug dienender Parabelträger mit gerader oberer und gekrümmter unterer Gurtung hat die nachfolgenden Hauptabmessungen und Belastungen: Stützweite  $l = 12,0\text{ m}$ ; Pfeilhöhe  $h = 1,20\text{ m}$ ; Feldweite  $a = 1,0\text{ m}$ ; Eigengewicht der Construction pro lauf. Meter des Trägers  $g = 320\text{ kg}$ , also pro Knotenpunkt  $ga = 320\text{ kg}$ ; mobile Belastung pro lauf. Meter des Trägers  $p = 1280\text{ kg}$ , also pro Knotenpunkt  $pa = 1280\text{ kg}$ . Der Träger hat ein aus Verticalen und Diagonalen bestehendes Gitterwerk; die Diagonalen fallen beiderseits nach der Mitte zu; der Träger ist also zur Mitte symmetrisch angeordnet. Es sind die in den einzelnen Stäben entstehenden Spannungen zu ermitteln. Wegen der Symmetrie des Trägers brauchen wir nur die Spannungen in den Stäben links der Mitte zu bestimmen; die symmetrisch zur Mitte liegenden Stäbe erhalten gleiche Beanspruchungen.

400.  
Beispiel.

1) Form der unteren Gurtung. Die Parabelordinaten ergeben sich nach Gleichung 231. aus der Relation  $y = \frac{4 \cdot 1,2}{144} x(12 - x) = 0,033 x(12 - x)$ .

Man erhält für

|                     |                 |                 |                 |                 |                |                 |                 |                 |                 |                 |
|---------------------|-----------------|-----------------|-----------------|-----------------|----------------|-----------------|-----------------|-----------------|-----------------|-----------------|
| $x = 1\text{ m}$    | $2\text{ m}$    | $3\text{ m}$    | $4\text{ m}$    | $5\text{ m}$    | $6\text{ m}$   | $7\text{ m}$    | $8\text{ m}$    | $9\text{ m}$    | $10\text{ m}$   | $11\text{ m}$   |
| $y = 0,36\text{ m}$ | $0,66\text{ m}$ | $0,89\text{ m}$ | $1,06\text{ m}$ | $1,16\text{ m}$ | $1,2\text{ m}$ | $1,16\text{ m}$ | $1,06\text{ m}$ | $0,89\text{ m}$ | $0,66\text{ m}$ | $0,36\text{ m}$ |

2) Spannungen in der oberen Gurtung. Durch das Eigengewicht, bzw. totale mobile Belastung entsteht in sämtlichen Stäben der oberen Gurtung eine Spannung nach Gleichung 241.

$$H_g = -\frac{320 \cdot 12^2}{8 \cdot 1,2} = -4800\text{ kg} \text{ und } H_p = -\frac{1280 \cdot 12^2}{8 \cdot 1,2} = -19\,200\text{ kg.}$$

$H_p$  ist zugleich die größte durch mobile Belastung entstehende Spannung.

3) Spannungen in der unteren Gurtung. Nach Gleichung 240. find die durch Eigengewicht, bezw. totale mobile Belastung erzeugten Spannungen aus der Relation zu finden:

$$Z_g = 4800 \sqrt{1 + \left(\frac{y' - y}{a}\right)^2} \quad \text{und} \quad Z_p = 19200 \sqrt{1 + \left(\frac{y' - y}{a}\right)^2}.$$

Hiernach erhält man:

| Stab Nr. | $y'$ | $y$  | $\frac{y' - y}{a}$ | $\sqrt{1 + \left(\frac{y' - y}{a}\right)^2}$ | $Z_g$   | $Z_p$  |
|----------|------|------|--------------------|--|---------|--------|
| 1        | 0,36 | 0,0  | 0,36               | 1,063  | 5102    | 20 410 |
| 2        | 0,66 | 0,36 | 0,30               | 1,044  | 5011    | 20 045 |
| 3        | 0,89 | 0,66 | 0,23               | 1,026  | 4925    | 19 699 |
| 4        | 1,06 | 0,89 | 0,17               | 1,014  | 4867    | 19 469 |
| 5        | 1,16 | 1,06 | 0,10               | 1,005  | 4824    | 19 296 |
| 6        | 1,20 | 1,16 | 0,04               | 1,008  | 4804    | 19 216 |
| Meter    |      |      |                    |  | Kilogr. |        |

Die Werthe  $Z_p$  find zugleich die größten durch mobile Belastung entfehenden Spannungen.

4) Spannungen in den Diagonalen. Die Spannungen durch das Eigengewicht find nach Art. 396, S. 362 gleich Null. Die durch mobile Belastung erzeugten Maximal- und Minimalspannungen find für die Diagonalen links der Mitte nach Gleichung 244. und 245.

$$Y_{max} = \frac{1280}{2 \cdot 12} (x^2 - 0,25) \frac{c}{\eta} = 53,33 \frac{c}{\eta} (x^2 - 0,25) \quad \text{und} \quad Y_{min} = -53,33 \left[ (l - x)^2 - 0,25 \right] \frac{l + c}{\eta}.$$

Die Größen  $c$  und  $\eta$  können berechnet oder construiert werden; die Werthe für  $c$  werden besser berechnet, weil die Zeichnung wegen der spitzen Schnittwinkel der Gurtungsftabrichtungen keine genauen Resultate ergibt. Man erhält mit Hilfe ähnlicher Dreiecke leicht:

$$\frac{c_2 + a}{y_1} = \frac{a}{y_2 - y_1}; \quad \frac{c_3 + 2a}{y_2} = \frac{a}{y_3 - y_2}; \quad \frac{c_4 + 3a}{y_3} = \frac{a}{y_4 - y_3};$$

$$\frac{c_5 + 4a}{y_4} = \frac{a}{y_5 - y_4} \quad \text{und} \quad \frac{c_6 + 5a}{y_5} = \frac{a}{y_6 - y_5}.$$

Die Werthe für  $\eta$  können in ähnlicher Weise leicht berechnet werden; doch können, besonders wenn  $c$  berechnet und der Schnittpunkt entsprechend den Rechnungsergebnissen aufgetragen wird, die  $\eta$  mit hinreichender Genauigkeit construiert werden. Die Werthe für  $c$ ,  $\eta$ ,  $x$ ,  $Y_{max}$  und  $Y_{min}$  find in nachstehender Tabelle zusammengestellt.

| Diagonale Feld-Nr. | $c$  | $\eta$ | $x$     | $Y_{max}$ | $Y_{min}$ |
|--------------------|------|--------|---------|-----------|-----------|
| 2                  | 0,2  | 0,66   | 10,5    | + 1777    | - 1971    |
| 3                  | 0,87 | 1,91   | 9,5     | + 2186    | - 2156    |
| 4                  | 2,23 | 3,8    | 8,5     | + 2304    | - 2396    |
| 5                  | 6,6  | 8,03   | 7,5     | + 2449    | - 2460    |
| 6                  | 24   | 22,3   | 6,5     | + 2410    | - 2582    |
| Meter              |      |        | Kilogr. |           |           |

Nach Art. 397, S. 365 müssen die absoluten Werthe der  $Y_{max}$  und  $Y_{min}$  einander gleich fein; dies ist hier nicht der Fall, und es hat dies seinen Grund darin, dass nicht die genauen Parabelordinaten der Berechnung zu Grunde gelegt sind, sondern eine Abrundung auf zwei Decimalen stattgefunden hat. Aus demselben Grunde würden sich auch die durch das Eigengewicht erzeugten Spannungen nicht genau gleich Null ergeben, wenn man sie nach Gleichung 234. berechnete. Immerhin ergeben sich diese Spannungen so gering, dass sie vernachlässigt werden können.

5) Spannungen in den Verticalen. Durch das Eigengewicht entsteht in jeder Verticalen nach Art. 396, S. 363 der Druck  $V = -320$  kg. Die durch mobile Belastungen in den Verticalen links der Mitte erzeugten Maximalspannungen find nach Gleichung 247.

$$V_{min} = -53,33 (x^2 - 0,25) \frac{c_1}{\lambda + c_1} \quad \text{und} \quad V_{max} = +53,33 \left[ (l - x)^2 - 0,25 \right] \frac{12 + c_1}{\lambda_1 + c_1}.$$

Man erhält für die verschiedenen Verticalen die in folgender Tabelle zusammengestellten Werthe von  $c_1$ ,  $\lambda_1$ ,  $x$ ,  $(l-x)$ ,  $V_{min}$  und  $V_{max}$ . Die 6. (die Mittel-)Verticale, an deren Fußpunkt sich die zwei Diagonalen der anschließenden Felder schneiden, kann nicht nach den obigen Gleichungen berechnet werden, da die dort für den Schnitt gemachten Voraussetzungen hier nicht zutreffen. Nachdem im oberen Knotenpunkte derselben keine Diagonale ansetzt, so kann dieselbe nur die Kräfte aufnehmen, welche direct in derselben wirken, d. h. der größte Druck ist gleich der Knotenpunktsbelastung dafelbst.

| Verticale Nr. | $c_1$ | $\lambda_1$ | $x$  | $l-x$ | $V_{min}$ | $V_{max}$ |
|---------------|-------|-------------|------|-------|-----------|-----------|
| 1             | 0,2   | 1,0         | 11,5 | 0,5   | - 1173    | 0         |
| 2             | 0,87  | 2,0         | 10,5 | 1,5   | - 1778    | + 478     |
| 3             | 2,23  | 3,0         | 9,5  | 2,5   | - 2047    | + 870     |
| 4             | 6,60  | 4,0         | 8,5  | 3,5   | - 2391    | + 1123    |
| 5             | 24    | 5,0         | 7,5  | 4,5   | - 2469    | + 1324    |
| 6             | —     | —           | —    | —     | - 1280    | 0         |
| Meter         |       |             |      |       | Kilogr.   |           |

6) Zur Bestimmung der Querschnitte nach der neueren Methode (siehe Art. 283 bis 287, S. 248 bis 252) ergeben sich dann für die einzelnen Stäbe die in der folgenden Tabelle angegebenen Werthe von  $P_0$ ,  $P_1$  und  $P_2$ :

| Obere Gurtung: Druck |        |          | Untere Gurtung: Zug |       |        | Diagonalen. |       |        |        | Verticalen: Druck überwiegt |       |        |        |
|----------------------|--------|----------|---------------------|-------|--------|-------------|-------|--------|--------|-----------------------------|-------|--------|--------|
| Stab Nr.             | $P_0$  | $P$      | Stab Nr.            | $P_0$ | $P_1$  | Stab Nr.    | $P_0$ | $P_1$  | $P_2$  | Stab Nr.                    | $P_0$ | $P_1$  | $P_2$  |
| 1                    | - 4800 | - 19 200 | 1                   | 5102  | 20 410 |             |       |        |        | 1                           | - 320 | - 1173 | 0      |
| 2                    | - 4800 | - 19 200 | 2                   | 5011  | 20 045 | 2           | 0     | + 1777 | - 1971 | 2                           | - 320 | - 1778 | + 478  |
| 3                    | - 4800 | - 19 200 | 3                   | 4925  | 19 699 | 3           | 0     | + 2186 | - 2156 | 3                           | - 320 | - 2047 | + 870  |
| 4                    | - 4800 | - 19 200 | 4                   | 4867  | 19 469 | 4           | 0     | + 2304 | - 2396 | 4                           | - 320 | - 2391 | + 1123 |
| 5                    | - 4800 | - 19 200 | 5                   | 4824  | 19 296 | 5           | 0     | + 2449 | - 2460 | 5                           | - 320 | - 2469 | + 1324 |
| 6                    | - 4800 | - 19 200 | 6                   | 4804  | 19 216 | 6           | 0     | + 2410 | - 2582 | 6                           | - 320 | - 1280 | 0      |
| 7                    | - 4800 | - 19 200 | 7                   | 4804  | 19 216 | 7           | 0     | + 2410 | - 2582 | 7                           | - 320 | - 2469 | + 1324 |
| 8                    | - 4800 | - 19 200 | 8                   | 4824  | 19 296 | 8           | 0     | + 2449 | - 2460 | 8                           | - 320 | - 2391 | + 1123 |
| 9                    | - 4800 | - 19 200 | 9                   | 4867  | 19 469 | 9           | 0     | + 2304 | - 2396 | 9                           | - 320 | - 2047 | + 870  |
| 10                   | - 4800 | - 19 200 | 10                  | 4925  | 19 699 | 10          | 0     | + 2186 | - 2156 | 10                          | - 320 | - 1778 | + 478  |
| 11                   | - 4800 | - 19 200 | 11                  | 5011  | 20 045 | 11          | 0     | + 1777 | - 1971 | 11                          | - 320 | - 1173 | 0      |
| 12                   | + 4800 | - 19 200 | 12                  | 5102  | 20 410 |             |       |        |        |                             |       |        |        |
| Kilogr.              |        |          | Kilogr.             |       |        | Kilogramm.  |       |        |        | Kilogramm.                  |       |        |        |

In die Gleichungen 15., 18., 21. u. 24. find die absoluten Zahlenwerthe für  $P_0$ ,  $P_1$ ,  $P_2$  einzufetzen; es folgt dies aus der Entwicklung derselben.

### 6) Dreiecksträger.

Dreieck- und Trapezträger find, wie bereits in Art. 374, S. 338 gefagt wurde, Träger, deren Gurtungen ein Dreieck, bzw. ein Paralleltapez bilden. Die eine

Fig. 221.

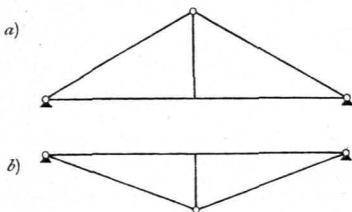
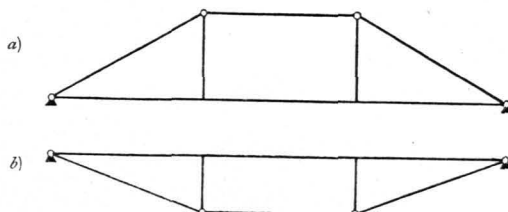


Fig. 222.

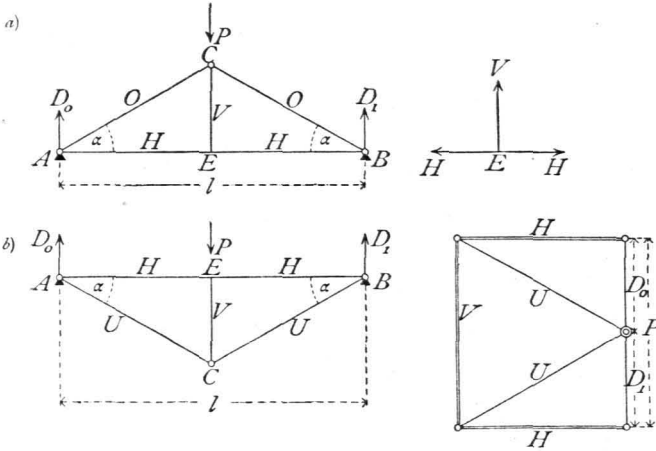


Gurtung zeigt eine gerade, die andere eine gebrochene Linie. Ist die untere Gurtung gerade, so erhält man die unter dem Namen des einfachen, bezw. doppelten Hängebockes bekannte Trägerform (Fig. 221 a, bezw. 222 a) — nicht zu verwechseln mit den Hängewerkträgern, welche nach Art. 357, S. 315 von der hier betrachteten wesentlich verschieden sind. Ist die obere Gurtung gerade, so erhält man die unter dem Namen des armirten Balkens bekannte Trägeranordnung (Fig. 221 b u. 222 b).

401.  
Concentrirte  
Belastung.

α) Concentrirte Belastung (Fig. 223). Wenn im Mittelknotenpunkte C

Fig. 223.



oder in dem Knotenpunkte E des Hängebockes (Fig. 223 a) die Last P wirkt, so wird die Auflager-Reaction  $D_0 = D_1 = \frac{P}{2}$ . Die im Punkte A wirkenden 3 Kräfte  $D_0$ ,  $O$  und  $H$  halten einander im Gleichgewicht, und es sind demnach die algebraischen Summen der in diesem Knotenpunkte wirkenden Horizontalcomponenten, bezw. Verticalcomponenten je gleich Null, d. h. es ist

$$0 = D_0 + O \sin \alpha, \text{ woraus } O = -\frac{P}{2 \sin \alpha} \dots \dots \dots 248.$$

$$0 = O \cos \alpha + H, \text{ woraus } H = \frac{P}{2 \operatorname{tg} \alpha} \dots \dots \dots 249.$$

Die Spannungen der symmetrisch zur Mitte liegenden Stäbe sind gleich.

Falls die Last P im Punkte C angreift, so ergibt sich als Gleichgewichtsbedingung für den Punkt E die Relation  $0 = V$ ; falls P in E angreift, so heißt die Gleichgewichtsbedingung  $0 = V - P$ , woraus

$$V = P \dots \dots \dots 250.$$

Eben so ergibt sich für den armirten Träger (Fig. 223 b):

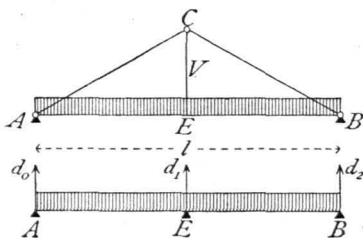
$$U = \frac{P}{2 \sin \alpha}; H = -\frac{P}{2 \operatorname{tg} \alpha} \text{ und } V = -P \dots \dots \dots 251.$$

Die Construction der Spannungen ergibt den Kräfteplan der Fig. 223, welcher ohne weitere Erläuterung verständlich ist.

402.  
Gleichförmig  
vertheilte  
Belastung.

β) Gleichförmig vertheilte, totale Belastung. Wird der Berechnung eine gleichförmig vertheilte Belastung zu Grunde gelegt, so ist die totale Belastung

Fig. 224.



auch die ungünstigste; denn jede Last, wo sie auch liegen möge, erzeugt in A und B (Fig. 224) Auflager-Reactionen, also in den Stäben der oberen Gurtung Druck, in denen der unteren Gurtung Zug. Bei dieser Belastung ist AEB wie ein continuirlicher Balken auf 3 Stützen A, E und B aufzufassen; die Mittelfstütze wird durch die Hängefäule CE gebildet. In derselben entsteht demnach ein Zug, welcher nach dem Principe von Wirkung

und Gegenwirkung genau so groß ist, wie die Auflager-Reaction bei der Mittelstütze  $E$  des continuirlichen Trägers  $AEB$ . Nach der Zusammenstellung in Art. 372, S. 337 ist dieselbe hier  $d_1 = 1,25 p \frac{l}{2} = \frac{5}{8} pl$ , während  $d_0 = d_2 = 0,375 p \frac{l}{2} = \frac{3}{16} pl$  ist; die letzteren Drücke werden vom Auflager aufgenommen und belasten das System nicht. Die Stabspannungen werden demnach die sub  $\alpha$  gefundenen Werthe haben, wenn statt  $P$  die Größe  $\frac{5}{8} pl$  eingesetzt wird. Es wird also beim Hängebock

$$V = P = \frac{5}{8} pl, \quad O = -\frac{5}{16} \frac{pl}{\sin \alpha} \quad \text{und} \quad H = \frac{5}{16} \frac{pl}{\operatorname{tg} \alpha} \quad \dots \quad 252.$$

Eben so ergibt sich im armirten Balken für diese Belastungsart

$$H = -\frac{5}{16} \frac{pl}{\operatorname{tg} \alpha}, \quad U = \frac{5}{16} \frac{pl}{\sin \alpha} \quad \text{und} \quad V = -\frac{5}{8} pl \quad \dots \quad 253.$$

In der geraden Gurtung  $AEB$  wirkt also die Zug-, bezw. Druckspannung  $H = \pm \frac{5}{16} \frac{pl}{\operatorname{tg} \alpha}$ ; da aber diese gerade Gurtung gleichzeitig als continuirlicher Träger zum Uebertragen der Lasten auf die Knotenpunkte dient, so wirken in derselben auch noch die Momente und Transversalkräfte, welche in den verschiedenen Querschnitten des continuirlichen Trägers  $AEB$  entstehen. Nach der Zusammenstellung in Art. 372, S. 337 findet das Maximalmoment am Mittelaufleger statt, und es ist dasselbe

$$M_1 = 0,125 p \left(\frac{l}{2}\right)^2 = \frac{pl^2}{32}.$$

$\gamma$ ) Querschnittsbestimmung. Die Querschnitte der nur gezogenen, bezw. nur gedrückten Stäbe ergeben sich leicht, wie in den Art. 281 ff., S. 247 ff. und im vorhergehenden Kapitel angegeben ist. Der Querschnitt der geraden Gurtung  $AEB$  ist für die combinirte Beanspruchung durch Zug, bezw. Druck und die Momente zu construiren. Wird der ganze Querschnitt (für Holz) als constant angenommen, so ist das größte im Balken wirkende Moment der Berechnung zu Grunde zu legen. An der Stelle des Maximalmoments  $M_{max}$  ist die größte in der äußersten Faser stattfindende Axialspannung pro Flächeneinheit nach Art. 296, S. 261

403.  
Querschnitts-  
bestimmung.

$$N_{max} = \pm \left( \frac{H}{F} + \frac{M_{max} a}{\mathcal{J}} \right).$$

Beim Rechteckquerschnitt ist  $F = bh$ ,  $\frac{\mathcal{J}}{a} = \frac{bh^2}{6}$ , und wenn noch statt  $N_{max}$  die größte zulässige Spannung  $K$  eingeführt wird, so ergibt sich als Bedingungsgleichung für den Querschnitt:

$$K = \pm \left( \frac{H}{bh} + \frac{6 M_{max}}{bh^2} \right) \dots \dots \dots 254.$$

In dieser Gleichung sind  $b$  und  $h$  unbekannt. Man nimmt praktisch zunächst für  $b$  einen Werth probeweise an und bestimmt  $h$  aus Gleichung 254.; ergibt sich für  $h$  eine unpraktische Größe, so nehme man für  $b$  einen anderen Werth an und bestimme wiederum  $h$  nach Gleichung 254. Es werden sich meistens bei der zweiten Rechnung entsprechende Werthe für  $b$  und  $h$  ergeben.

7) Trapezträger.

$\alpha$ ) Concentrirte Belastungen. Für die Belastungen in Fig. 225  $a$  sind die Auflager-Reactionen beim Hängebock

404.  
Concentrirte  
Belastungen.

$$D_0 = \frac{P_2 a + P_1 (a + b)}{l} \quad \text{und} \quad D_1 = \frac{P_1 a + P_2 (a + b)}{l}.$$

Die Stabspannungen ergeben sich dann durch Aufstellung der Gleichgewichtsbedingungen für die einzelnen Knotenpunkte, wie folgt:

$$0 = D_0 + O_1 \sin \alpha, \quad \text{woraus} \quad O_1 = -\frac{P_2 a + P_1 (a + b)}{l \sin \alpha} \dots \dots \dots 255.$$

$$0 = O_1 \cos \alpha + U_1, \text{ woraus } U_1 = \frac{P_2 a + P_1(a+b)}{l \operatorname{tg} \alpha} = [P_2 a + P_1(a+b)] \frac{a}{lh} \quad 256.$$

$$0 = U_1 - U_2, \text{ woraus } U_2 = U_1 = [P_2 a + P_1(a+b)] \frac{a}{lh} \quad \dots \quad 257.$$

$$0 = D_1 + O_3 \sin \alpha, \text{ woraus } O_3 = - \frac{P_1 a + P_2(a+b)}{l \sin \alpha} \quad \dots \quad 258.$$

$$0 = U_3 + O_3 \cos \alpha, \text{ woraus } U_3 = \frac{P_1 a + P_2(a+b)}{l \operatorname{tg} \alpha} = [P_1 a + P_2(a+b)] \frac{a}{lh} \quad 259.$$

$$0 = O_2 - O_3 \cos \alpha, \text{ woraus } O_2 = - \frac{P_1 a + P_2(a+b)}{l \operatorname{tg} \alpha} = - [P_1 a + P_2(a+b)] \frac{a}{lh} \quad 260.$$

$$0 = V_1 \text{ (falls die Last } P_1 \text{ in } C \text{ wirkt, so ist } V_1' = P_1) \quad \dots \quad 261.$$

$$0 = P_2 + V_2 + O_3 \sin \alpha, \text{ woraus } V_2 = (P_1 - P_2) \frac{a}{l} \quad \dots \quad 262.$$

(Falls die Last  $P_2$  in  $E$  wirkt, so wird

$$0 = V_2' + O_3 \sin \alpha, \text{ woraus } V_2' = \frac{P_1 a + P_2(a+b)}{l} \quad \dots \quad 263).$$

$$0 = U_2 + Y \cos \beta - U_3, \text{ woraus } Y = - \frac{U_2 - U_3}{\cos \beta} = - \frac{ab}{lh \cos \beta} (P_1 - P_2),$$

$$Y = + (P_2 - P_1) \frac{a}{l \sin \beta} \quad \dots \quad 264.$$

Falls die Lasten in der unteren Gurtung, in  $C$  und  $E$ , angreifen, so wird

$$Y' \sin \beta + V_2' - P_2 = 0, \text{ woraus } Y' = \frac{P_2 - V_2'}{\sin \beta} = \frac{P_2}{\sin \beta} - \frac{P_1 a + P_2(a+b)}{l \sin \beta}$$

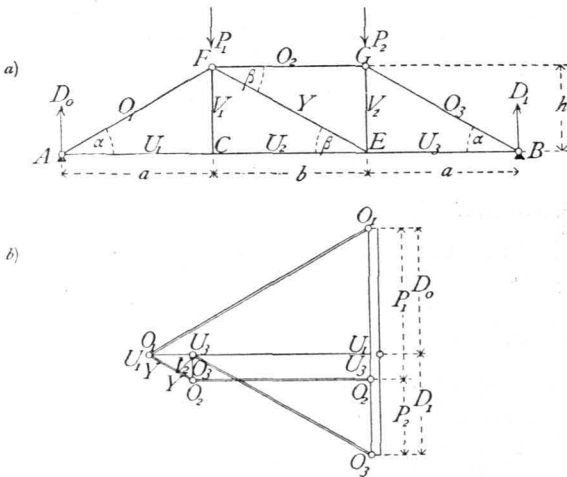
$$Y' = (P_2 - P_1) \frac{a}{l \sin \beta}, \quad \dots \quad 265.$$

d. h. eben so groß, wie in Gleichung 264.

Wenn, wie meistens,  $P_1 = P_2 = P$  ist, wird

$$\left. \begin{aligned} O_1 = - \frac{P}{\sin \alpha}; U_1 = \frac{Pa}{h} = U_2; O_2 = - \frac{Pa}{h}; O_3 = - \frac{P}{\sin \alpha}; \\ U_3 = \frac{Pa}{h}; V_1 = 0; V_2 = 0; Y = 0 \end{aligned} \right\} \quad 266.$$

Fig. 225.



Die Construction ergibt neben stehenden, ohne Erklärung verständlichen Kräfteplan (Fig. 225 b).

Was den armirten Balken (Fig. 222 b) anbelangt, so sind bei diesem die Spannungen sowohl in der oberen, wie in der unteren Gurtung den soeben für die gerade, bzw. gebrochene Gurtung des doppelten Hängebockes gefundenen Spannungen der absoluten Größe nach gleich, dem Sinne nach entgegengesetzt. Die Werthe derselben können demnach aus den Gleichungen 255. bis 260. durch Umkehrung der Vorzeichen genom-

men werden. Die Spannungen in der Diagonalen und in den Verticalen ergeben sich leicht durch Betrachtung des Gleichgewichtes der einzelnen Knotenpunkte, wie beim doppelten Hängebock gezeigt ist.

β) Gleichförmig über den ganzen Träger vertheilte Belastung (Fig. 226). Jede Belastung erzeugt in den Stäben der unteren Gurtung Zug, in denjenigen der oberen Gurtung Druck, wie sich aus den Gleichungen 255. bis 260. ergibt. Maximalzug, bezw. -Druck findet also in den Gurtungen bei Belastung des ganzen Trägers statt.

Die untere Gurtung wirkt, wenn keine Gelenke in den Knotenpunkten derselben angenommen werden, wie ein continuirlicher Balken auf 4 Stützen. Die Endstützen sind *A* und *B*; die

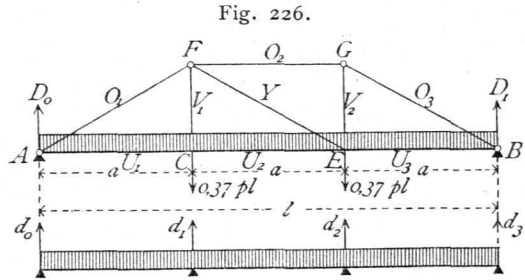


Fig. 226.

405.  
Gleichförmig  
vertheilte  
Belastung.

Wird  $a = b$  gesetzt, so ergibt sich bei Belastung des ganzen Trägers mit der Last  $p$  pro Längeneinheit als Auflager-Reaction der Mittelstützen nach der Zusammenstellung in Art. 372, S. 337  $d_1 = d_2 = 1,1 \frac{pl}{3} = 0,37 pl$ . Eben so groß ist die Last, welche in den Knotenpunkten *C* und *E* des Systemes nach dem Princip von Wirkung und Gegenwirkung nach unten wirkt. Werden diese Werthe für  $P_1$  und  $P_2$  in die obigen Gleichungen eingeführt, so ergibt sich

$$\left. \begin{aligned} O_1 = -\frac{0,37 pl}{\sin \alpha}; \quad U_1 = 0,37 pl \frac{a}{h}; \quad O_2 = -0,37 pl \frac{a}{h}; \quad O_3 = -\frac{0,37 pl}{\sin \alpha}; \\ U_2 = 0,37 pl \frac{a}{h}; \quad U_3 = 0,37 pl \frac{a}{h}; \quad V_1 = 0,37 pl; \quad V_2 = 0,37 pl; \quad Y = 0 \end{aligned} \right\} 267.$$

Die hier gefundenen Spannungen  $O$  und  $U$  sind die Maximalspannungen, welche durch gleichförmig vertheilte mobile Belastung entstehen; wird statt  $p$  das Eigengewicht  $g$  pro Längeneinheit eingeführt, so ergeben sich die durch das Eigengewicht entstehenden Stabspannungen.

γ) Ungünstigste Beanspruchung der Diagonale und der Verticalen. Den allgemeinen Ausdruck für die Diagonalspannung giebt die Gleichung 264.  $Y$  wird seinen größten positiven Werth (Zug) haben, wenn  $P_2$  möglichst groß,  $P_1$  möglichst klein ist;  $Y$  wird seinen größten negativen Werth (Druck) erreichen, wenn  $P_2$  möglichst klein,  $P_1$  möglichst groß ist. Wird als mobile Belastung eine gleichmäÙig vertheilte Last eingeführt, so kann man, wenn  $a = b$  ist, mit für die Zwecke des Hochbaues hinreichender Sicherheit annehmen, dass die Diagonale den größten Zug erleidet, wenn der Punkt *E* am Fußpunkte derselben mit  $pa + 0,37 gl$  belastet ist, der Punkt *C* (in der Verticalen des Kopfes der Diagonalen) nur das Eigengewicht  $0,37 gl$  trägt. Bei der umgekehrten Belastung dagegen erleidet die Diagonale ihren größten Druck. Demnach wird

$$Y_{\max}^{\min} = \pm \frac{pa^2}{l \sin \beta} \dots \dots \dots 268.$$

Ferner ist hier, wo die Lasten unten wirken,  $V_1 = P_1$ , d. h.

$$V_{1\max} = (g + p) 0,37 l \quad \text{und} \quad V_{1\min} = 0,37 gl \dots \dots \dots 269.$$

406.  
Ungünstigste  
Beanspruchung  
der  
Gitterstäbe.

Dieselben Werthe ergeben sich für  $V_2$ ; denn es ist nach Gleichung 263. für die Belastung der unteren Knotenpunkte  $V'_2 = \frac{P_1 a + P_2 (a + b)}{l}$ ; da nun  $V_{2max}$  für  $P_1 = P_2 = 0,37 (g + p) l$  eintritt, wird

$$V_{2max} = 0,37 (g + p) l \quad \text{und} \quad V_{2min} = 0,37 g l \quad . . . . . 270$$

407.  
Querschnitts-  
bestimmung.

δ) Die Querschnittsbestimmung ist in genau gleicher Weise vorzunehmen, wie dies in Art. 403, S. 371 beim Dreiecksträger gezeigt ist. Die Maximalmomente in der geraden Gurtung finden bei  $C$  und  $E$  statt und sind für  $a = b$  nach der Zusammenstellung in Art. 372, S. 337  $M = p \left(\frac{l}{3}\right)^2 \frac{1}{10} = \frac{p l^2}{90}$ . Die Dimensionen  $b$  und  $h$  des rechteckigen Querschnittes (für Holz) sind demnach aus der Gleichung zu bestimmen:

$$N_{max} = K = \pm \left( \frac{U}{b h} + \frac{6 M_{max}}{b h^2} \right).$$

Die Dreieck- und Trapezträger mit einer größeren Anzahl von Lastpunkten werden durch Einfügen von secundären Dreiecken in die oben (Fig. 221 u. 222) dargestellten Trägerformen hergestellt. Die Berechnung ist der vorstehenden analog, kann aber auch bequem nach der Momentenmethode vorgenommen werden.

### 3. Abschnitt.

## D a c h f t ü h l e.

408.  
Dach-  
binder.

Den wesentlichen und charakteristischen Theil der Dachstühle bilden die sog. Dachbinder; sie sind die Hauptträger der Dachconstructions und haben die übrigen Theile derselben, wie Pfetten, Sparren etc.<sup>167)</sup> zu tragen. Sie werden in bestimmten Entfernungen von einander angeordnet.

Im vorliegenden Abschnitt werden wir uns mit der Berechnung der Dachbinder beschäftigen. Was die Querschnittsermittlung der Pfetten, der Sparren, des Windverbandes etc. betrifft, so ist einerseits in den beiden vorhergehenden Abschnitten bereits das Erforderliche vorgeführt worden; andererseits wird im III. Theile dieses »Handbuches« (Band 3, Abschn. 2, E: Dachstuhl-Constructions) nochmals auf diesen Gegenstand zurückgekommen werden.

Bei den meisten Dachconstructions ist jeder Binder unter dem Einflusse der äusseren Kräfte für sich stabil; eine Ausnahme machen die neueren Kuppeldächer und gewisse Arten von Zeltdächern, bei denen alle Binder zusammen ein im Gleichgewicht befindliches System bilden.

Für die Grösse der Belastungen, welche der Berechnung zu Grunde zu legen sind, ist die Stellung der Binder zu einander von grosser Wichtigkeit. Die Binder sind entweder einander parallel gestellt, oder sie convergiren gegen einander. Im ersten Falle ist die Belastung pro Längeneinheit des Binders auf der ganzen Binderlänge constant, im zweiten Falle variabel, und zwar meistens nach dem Gesetze der geraden Linie.

<sup>167)</sup> Es kann hier nicht der Ort sein, die Begriffe »Pfetten, Sparren etc.« zu definiren, eben so wenig als an dieser Stelle auf die Erklärung der verschiedenen Benennungen von Dächern, wie »Sattel-, Walm-, Pult-, Zelt-, Kuppel- etc. Dächer, eingegangen werden kann. Es sei diesfalls auf Theil III. dieses »Handbuches« (Bd. 3, Abschn. 2, D: Dächer und Dachformen) verwiesen.